

2018

Weekly / Semanal **Influenza Report EW 49/ Reporte de Influenza SE 49**

Regional Update: Influenza & Other Respiratory Viruses /
Actualización Regional: Influenza y Otros virus respiratorios

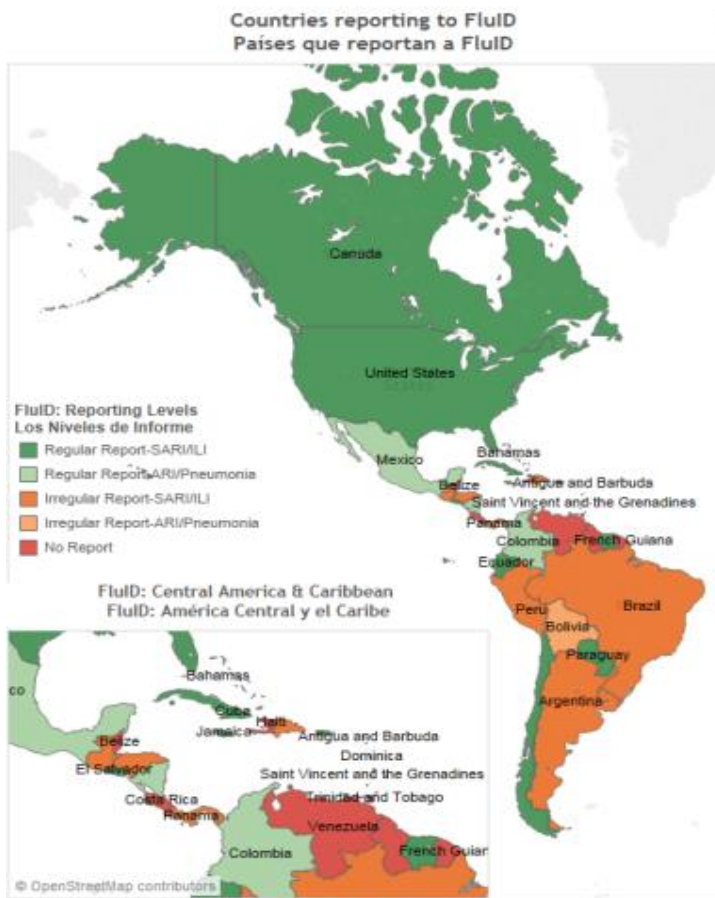


**December 18, 2018
18 de Diciembre de 2018**

*Data as of December 14, 2018/
Datos hasta 14 de diciembre de 2018*

*Prepared by PHE/IHM/Influenza Team/
Realizado por PHE/IHM/Equipo de Influenza*

FluID



FluNet



Map Production /Producción del mapa :PAHO/WHO/OPS/OMS.

Data Source / Fuente de datos:

Ministries of Health and National Influenza Centers of Member States Reports to the informatics global platforms FluNet and / Informe de los Ministerios de Salud y los Centros Nacionales de Influenza de los Estados Miembros a las plataformas informáticas globales de FluNet y FluID

[Go to Index/](#)
[Ir al Índice](#)

WEEKLY REPORT DATA SOURCES

The information presented in this update is based on data provided by Ministries of Health and National Influenza Centers of Member States to the informatics global platforms
http://www.who.int/influenza/gisrs_laboratory/flunet/en/
and http://www.who.int/influenza/surveillance_monitoring/fluid/en/ ;
and reports/weekly bulletins that Ministries of Health published on its website or shared with PAHO/WHO.

La información presentada en esta actualización se obtiene a partir de los datos notificados por los Ministerios de Salud y los Centros Nacionales de Influenza de los Estados Miembros a las plataformas informáticas globales de la OPS/OMS: [FluNet](#) y [Fluid](#); y de los informes/boletines semanales que los Ministerios de Salud publican en sus páginas web o comparten con OPS/OMS.

PAHO INFLUENZA LINKS

PAHO interactive data / Datos interactivos de la OPS:

PAHO FluNet: http://ais.paho.org/php/viz/ed_flu.asp

PAHO Fluid: <http://ais.paho.org/php/viz/flumart2015.asp>

Influenza Regional Reports / Informes regionales de influenza:

In English: <http://www.paho.org/influenzareport>

En español: www.paho.org/reportesinfluenza

Severe acute respiratory infections network - SARinet
Red de las infecciones respiratorias agudas graves - SARinet:

<http://www.sarinet.org>

[Go to Index/](#)
[Ir al Índice](#)

REPORT INDEX

ÍNDICE DE LA ACTUALIZACIÓN

Section	Content	Page
1	<u>Weekly Summary / Resumen Semanal</u>	5
2	<u>Overall Influenza and RSV circulation / Circulación general de los virus influenza y VSR</u>	6
3	<u>Weekly and Cumulative numbers / Números semanales y acumulados</u>	7
4	<u>Epidemiological and Virologic update by country / Actualización epidemiológica y virológica por país</u>	8
5	<u>Acronyms / Acrónimos</u>	31

WEEKLY SUMMARY (ENGLISH)

North America: Overall, influenza activity increased in [Canada](#) and the [United States](#), with influenza A(H1N1)pdm09 predominating. In [México](#), high influenza-associated SARI activity was reported with influenza A(H1N1)pdm09 and other respiratory virus co-circulating.

Caribbean: Influenza virus activity decreased, and higher RSV activity was reported throughout most of the sub-region. In [Cuba](#) and [Haiti](#), increased SARI activity was due to influenza A(H1N1)pdm09 circulation. Bronchiolitis consultations remained above seasonal levels in [Guadeloupe](#) and [Martinique](#).

Central America: Epidemiological indicators remained at moderate levels and influenza circulation was reported to decrease throughout the sub-region with influenza A(H1N1)pdm09 and B co-circulating. In [Panama](#) and [Guatemala](#) RSV circulation continued elevated. In [Costa Rica](#), [El Salvador](#) and [Nicaragua](#), increased influenza and RSV circulation was associated with pneumonia and SARI activity was reported.

Andean Region: Overall influenza activity increased in the sub-region. In [Bolivia](#) and [Ecuador](#), influenza A(H3N2) and B co-circulated, while in [Perú](#), influenza A(H1N1)pdm09 activity decreased with lower SARI activity.

Brazil and Southern Cone: Influenza activity was at low levels throughout the sub-region after a later peak in [Paraguay](#), [Brazil](#) and [Chile](#), influenza-associated SARI cases decreased associated with influenza B detections. In [Paraguay](#), decreased SARI activity was related to influenza A(H3N2).

Global: In the temperate zone of the northern hemisphere influenza activity continued to increase although overall influenza activity remained low. Increased influenza detections were reported in some countries of Southern and South-East Asia. In the temperate zones of the southern hemisphere, influenza activity returned to inter-seasonal levels. Worldwide, seasonal influenza A viruses accounted for the majority of detections.

RESUMEN SEMANAL (ESPAÑOL)

América del Norte: En general, la actividad de influenza aumentó en [Canadá](#) y los [Estados Unidos](#), con predominio de A(H1N1)pdm09. En [México](#), se reportó elevada la actividad de influenza e IRAG con co-circulación de influenza A(H1N1)pdm09 y otros virus respiratorios.

Caribe: La actividad de influenza disminuyó y se reportó mayor actividad de VSR en la mayoría de la subregión. En [Cuba](#) y [Haití](#), la mayor actividad de IRAG fue asociada a influenza A(H1N1)pdm09. Las consultas por bronquiolitis permanecieron sobre los niveles estacionales en [Guadeloupe](#) y [Martinique](#).

América Central: Los indicadores epidemiológicos permanecieron en niveles moderados y la actividad de influenza se reportó en disminución en la sub-región con co-circulación de influenza A(H1N1)pdm09 y B. En [Panamá](#) y [Guatemala](#) la circulación de VSR continuó elevada. En [Costa Rica](#), [El Salvador](#) y [Nicaragua](#), se reportó circulación aumentada de influenza A(H1N1)pdm09 y VSR asociada a actividad de neumonía e IRAG.

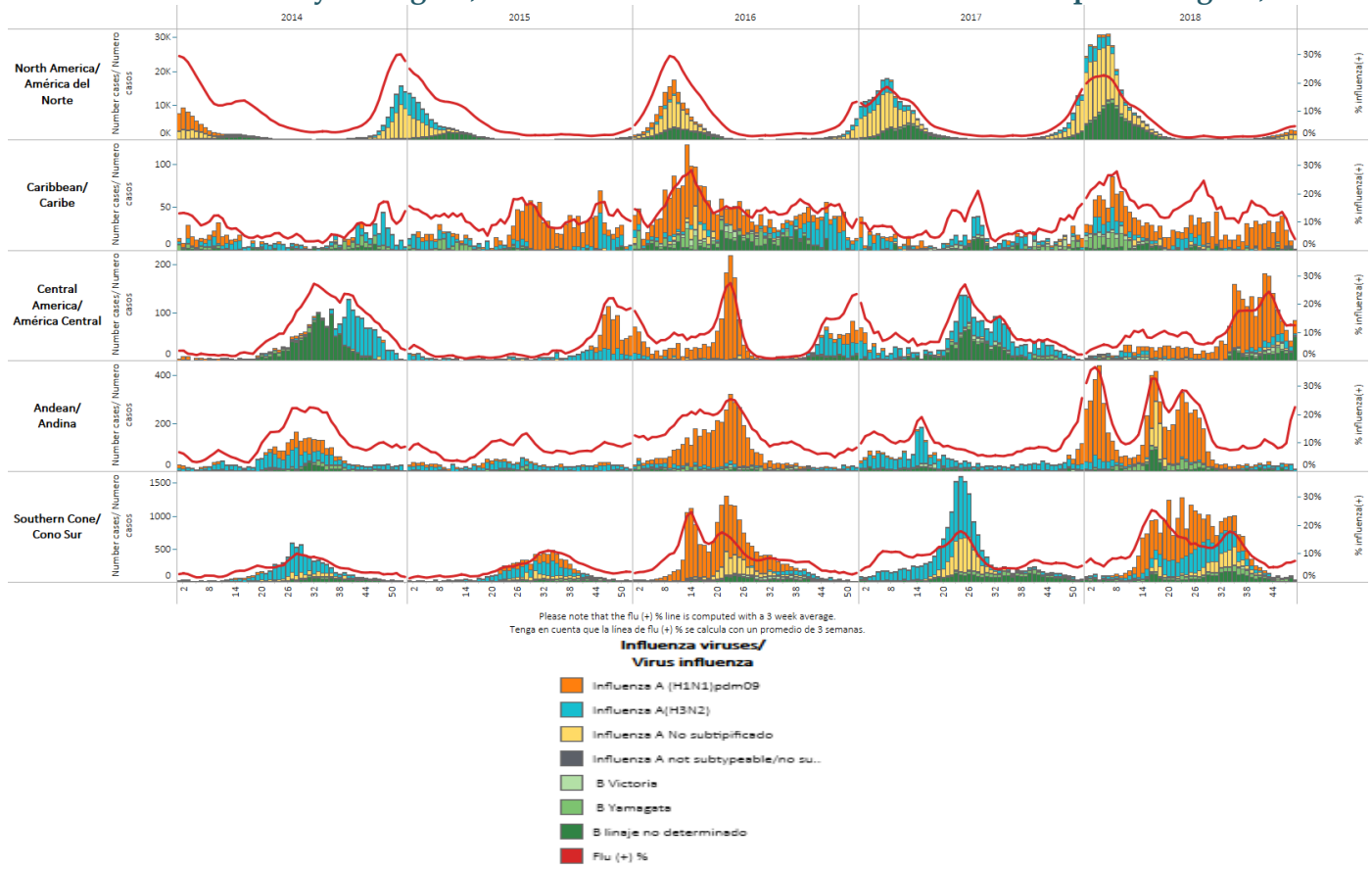
Sub-región Andina: La actividad general de influenza y otros virus respiratorios aumentó en la sub-región. En [Bolivia](#) y [Ecuador](#), co-circularon influenza A(H3N2) y B, en tanto en [Perú](#), la actividad de influenza A(H1N1)pdm09 disminuyó con baja actividad de IRAG.

Brasil y Cono Sur: Los niveles de influenza se ubicaron a niveles bajos en toda la sub-región luego de un pico tardío en [Paraguay](#). En [Brasil](#) y [Chile](#), los casos de IRAG por influenza disminuyeron asociados a detecciones influenza B. En [Paraguay](#), la menor actividad de IRAG fue asociada a influenza A(H3N2).

Global: En la zona templada del hemisferio norte, la actividad de influenza continuó aumentando, aunque la actividad general de influenza se mantuvo baja. En algunos países de Asia meridional y sudoriental se notificaron mayores detecciones de influenza. En las zonas templadas del hemisferio sur, la actividad de influenza regresó a niveles inter-estacionales. En todo el mundo, los virus influenza A estacionales representaron la mayoría de las detecciones.

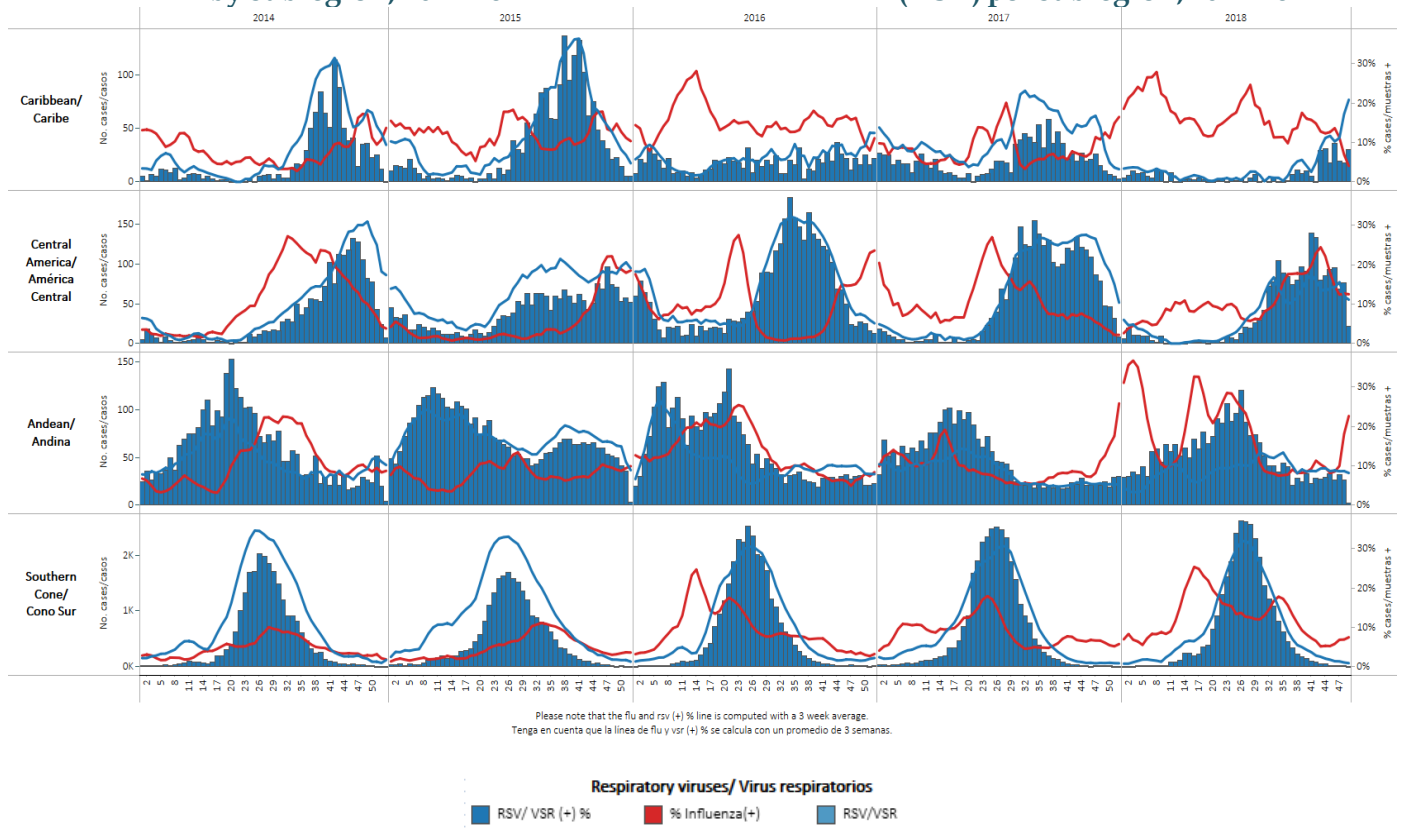
Influenza circulation by subregion, 2014-18

Circulación de virus influenza por subregión, 2014-18



Respiratory syncytial virus (RSV) circulation by subregion, 2014-18

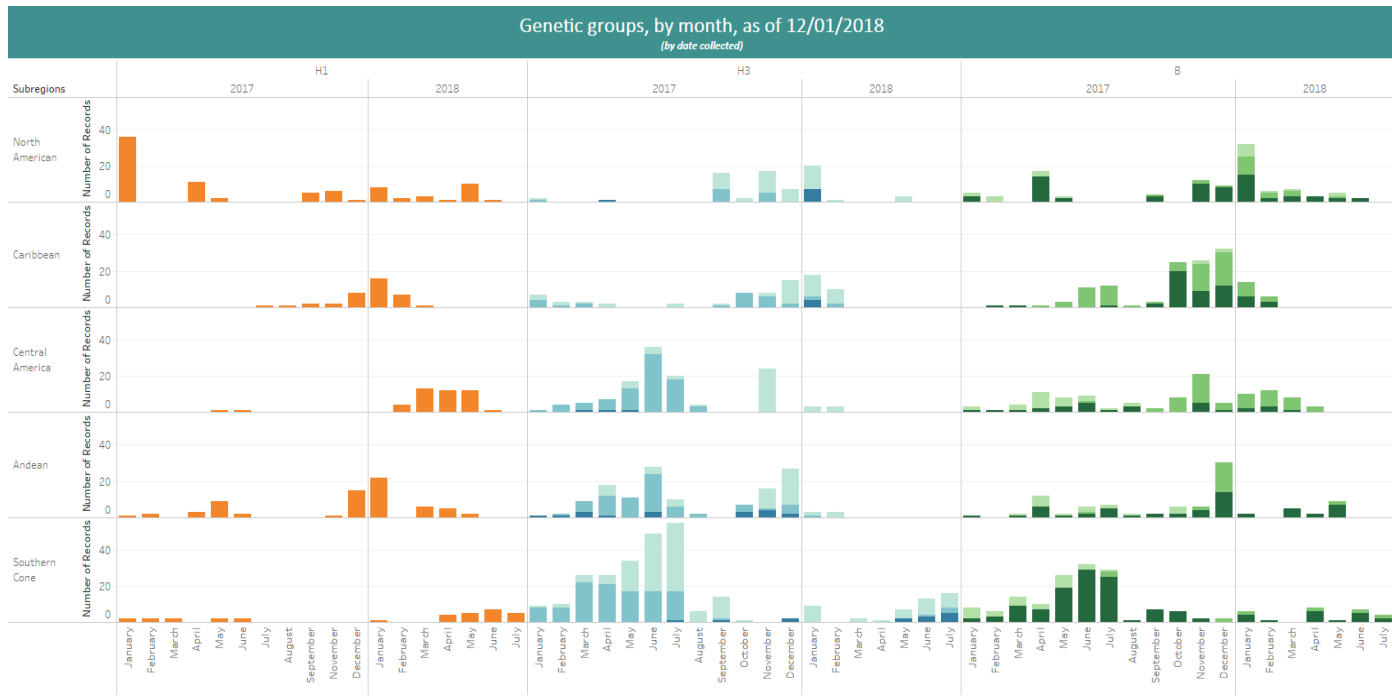
Circulación de virus sincicial respiratorio (VSR) por subregión, 2014-18



*To view more lab data, view [here](#). / Para ver mas datos lab, vea [aquí](#).

Genetic Characterization of Influenza Virus by Subregion, 2017-18

Caracterización Genética de los Virus Influenza por Subregión, 2017-18



These data are from the WHO –Collaborating Center at the U.S. CDC.
Estos datos son recolectados desde el CC de la OMS en el CDC de EE. UU.

Genetic Group

3C.2a	3C.3a	V1A	Y3
3C.2a1	6B.1	V1A.1	

Weekly and cumulative numbers of influenza and other respiratory virus, by country and EW, 2018¹ Números semanales y acumulados de influenza y otros virus respiratorios, por país y SE, 2018²

EW 49, 2018 / SE 49, 2018

		N samples/ muestras	Influenza A(H3N2)	Influenza A(H1N1) pdm09	Influenza A non- subtyped*	Influenza A not sub- typeable/.	B Victoria	B Yamagata	B linaje no determinado	Influenza (+) %	Adenovir.	Parainflu.	RSV/VSR	% RSV/VSR (+)	Bocavirus	Coronav..	Metapne..	Rhinovirus	% All Positive Samples (+)
North America/ América del Norte	Canada	33,519	35	731	834				14	4.8%	74	116	395	1%	73	28	317	7.8%	
	Mexico	494	0	106	0	6	2	3	5	24.7%	1	0	4	1%	0	1	4	0	26.7%
	USA	19,288	35	146	626	0	2	4	57	4.5%									4.5%
Caribbean/ Caribe	Belize	14	0	0	0	0	0	0	0	0.0%	0	0	2	14%	0	0	0	0	14.3%
	Cuba	31	0	0	0	0	0	0	1	3.2%	0	1	13	42%	1	0	0	0	51.6%
	Cuba IRAG	28	0	0	0	0	0	0	0	0.0%	0	0	13	46%	1	0	0	0	50.0%
	Dominican Republic	1								0.0%									0.0%
	Haiti	8	0	0	0	0	0	0	0	0.0%	0	0	0	0%	0	0	0	0	0.0%
	Jamaica	10	0	0	0	0	0	0	1	10.0%	0	0	2	20%					30.0%
Central America/ América Central	Suriname	2	0	0	0	0	0	0	0	0.0%	0	0	0	0%	0	0	0	0	0.0%
	El Salvador	27	0	0	0	0	0	0	3	11.1%	0	0	0	0%					11.1%
	El Salvador*	29	0	0	0	0	3	0	1	13.8%	0	0	0	0%					13.8%
	Guatemala	11								0.0%			2	18%					18.2%
	Honduras	7	0	0	0	0	0	0	0	0.0%	0	0	0	0%					0.0%
	Nicaragua	469	1	28	0				47	16.2%			11	2%					18.6%
Andean/ Andina	Panama	22	1	0	0	0	0	0	0	4.5%	0	1	9	41%					86.4%
	Bolivia	17	6	0	0	0	0	0	0	35.3%	0	0	0	0%	0	0	0	0	35.3%
	Ecuador	2	0	0	0	0	0	0	0	0.0%	0	0	1	50%	0	0	0	0	50.0%
	Brazil & Southern Cone/ Brasil y Cono Sur	188	4	1	0				16	11.2%	2	2	1	1%					16.0%
	Chile	532	3	1	1				7	3.6%	29	14	3	1%					14.7%
	Chile_IRAG	18	0	0	0	0	0	0	1	5.6%	1	0	0	0%	0	0	0	0	27.8%
Brazil & Southern C. / Paraguay IRAG	Paraguay	40	1	1	0	0	0	0	0	5.0%	0	0	0	0%	0	0	0	0	5.0%
	Grand Total	54,757	86	1,016	1,461	6	7	14	153	5.0%	107	134	456	1%	2	74	48	328	7.1%

These are the raw numbers provided in the country's FluNet update (Not the smoothed averages).
Estos son los números crudos proporcionados en la actualización FluNet del país (no los promedios suavizados).

*Please note blank cells indicate N/A.

*Por favor notar que las celdas en blanco indican N/A.

* NIC laboratory data only / datos de laboratorio solo del NIC

EW 48, 2018 / SE 48, 2018

*Note: These countries reported in EW 49, 2018, but have provided data up to EW 48.

*Nota: Estos países reportaron en la SE 49, 2018, pero han enviado los datos hasta la SE 48.

		N samples/ muestras	Influenza A(H3N2)	Influenza A (I H1N1) pdm09	Influenza A No subtipificado	Total Influenza B	Influenza (+) %	Adenovirus	RSV/VSR	% RSV/VSR (+)	Bocavirus*	Coronav..	Metapne..	Rhinovirus..	Parainfluen..	% All Positive Samples (+)
Caribbean/ Caribe	Aruba	4		1		0	25.0%	3	75%	0	0	0	0	0	0	100.0%
Central America/ A..	Costa Rica	75	7	4	0	2	17.3%	1	25	33%	0	0	0	0	0	52.0%
Andean/ Andina	Colombia	126	4	2		3	7.1%	3	16	13%	2	3	1	3	4	32.5%
	Peru	31	1	0	0	2	9.7%	0	0	0%	0	0	0	0	0	9.7%
Brazil & Southern C..	Paraguay IRAG	49	0	2	0	0	4.1%	0	1	2%	0	0	0	0	2	10.2%
	Grand Total	285	12	9	0	7	9.8%	4	45	16%	2	3	1	3	6	32.3%

EW 47, 2018 / SE 47, 2018

*Note: These countries reported in EW 49, 2018, but have provided data up to EW 47.

*Nota: Estos países reportaron en la SE 49, 2018, pero han enviado los datos hasta la SE 47.

		N samples/ muestras	Influenza A(H3N2)	Influenza A (I H1N1) pdm09	Influenza A No subtipificado	Total Influenza B	Influenza (+) %	Adenovirus	RSV/VSR	% RSV/VSR (+)	Bocavirus*	Coronav..	Metapne..	Rhinovirus..	Parainfluen..	% All Positive Samples (+)
Caribbean/ Caribe	Trinidad and Tobago	9		0	0.0%			3	33%	0	0	2	0	0	0	55.6%
	Grand Total	9		0	0.0%			3	33%	0	0	2	0	0	0	55.6%

EW 46-49, 2018 / SE 46-49, 2018

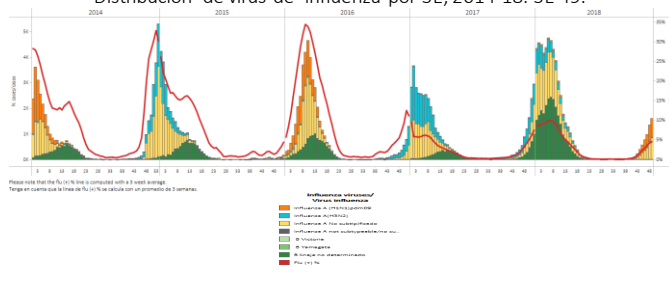
		N samples/ muestras	Influenza (H3N2)*	Influenza A(H1N1) pdm09*	Influenza A non- subtyped*	Influenza B Victoria*	Influenza B Yamagata	Influenza B linaje undeterm. a*	Influenza (+) %	Adenovir..	Parainflu..	RSV/VSR*	% RSV/VSR (+)	Bocaviru..	Coronavi..	Metapne..	Rinovirus..	Parainfluen..	% All Positive Samples (+)
North America/ América del Norte	Canada	119,067	91	2,274	2,308	0	0	41	4.0%	266	401	956	0.8%	0	199	97	1,255	6.6%	
	Mexico	2,773	5	515	0	10	31	18	21.9%	9	1	15	0.5%	0	3	16	20	24.2%	
	USA	93,562	129	636	3,035	7	17	300	4.4%	0	0	0	0	0	0	0	0	4.4%	
Caribbean/ Caribe	Aruba	8	0	2	0	0	0	0	25.0%	0	0	6	75.0%	0	0	0	0	100.0%	
	Barbados	1	0	0	0	0	0	0	0.0%	0	0	0	0	0	0	0	0	0.0%	
	Belize	33	0	0	2	0	0	3	15.2%	0	0	6	18.2%	0	0	0	0	33.3%	
	Cuba	145	0	19	1	1	1	1	15.9%	1	5	26	17.9%	1	0	0	0	38.6%	
	Cuba IRAG	106	0	7	1	0	0	0	7.5%	1	2	26	24.5%	1	0	0	0	35.8%	
	Dominican Republic	67	0	10	0	0	0	0	14.9%	0	1	8	11.5%	0	0	0	0	28.4%	
	French Guiana	3	0	0	0	0	0	0	0.0%	0	0	0	0	0	0	0	0	0.0%	
	Haiti	178	0	20	0	1	0	0	11.8%	0	0	0	0.0%	0	0	0	0	11.8%	
	Jamaica	111	0	0	0	0	1	4	4.5%	0	0	8	7.2%	0	0	0	0	11.7%	
	Saint Vincent and the..	4	0	0	0	0	0	0	0.0%	0	0	0	0	0	0	0	2	50.0%	
	Suriname	21	0	0	0	0	0	0	0.0%	1	0	0	0.0%	0	0	0	0	4.8%	
	Trinidad and Tobago	23	0	1	0	0	0	0	4.3%	0	0	10	43.5%	0	0	0	3	16.2%	
Central America/ América Central	Costa Rica	187	21	10	0	0	4	18.7%	8	1	56	29.9%	0	0	0	0	0	53.5%	
	El Salvador	189	0	7	1	7	4	3	11.6%	0	1	4	2.1%	0	0	0	0	14.3%	
	El Salvador*	173	0	7	1	13	4	1	20.8%	0	1	4	2.3%	0	0	0	0	23.7%	
	Guatemala	68	3	0	1	0	0	0	5.9%	0	0	25	36.8%	0	0	5	0	50.0%	
	Honduras	153	1	2	1	0	0	2	3.9%	0	0	29	19.0%	0	0	0	0	22.9%	
	Nicaragua	1,124	2	59	1	0	0	95	14.0%	0	2	75	6.7%	0	0	1	0	20.9%	
	Panama	228	17	4	0	1	0	9	9.6%	8	4	68	29.8%	0	0	0	19	43.1%	
Andean/ Andina	Bolivia	122	9	3	2	0	0	11.5%	1	1	11	9.0%	0	0	0	0	0	22.1%	
	Colombia	415	16	8	0	0	0	10	8.2%	13	12	56	13.5%	7	10	4	11	35.7%	
	Ecuador	152	14	0	0	0	5	12.5%	0	8	9	5.5%	0	0	0	0	0	23.7%	
	Peru	133	4	2	0	0	5	0	8.3%	0	3	0	0.0%	0	0	2	0	12.0%	
Brazil & Southern Cone/ Brasil y Cono Sur	Brazil	709	11	2	0	14	23	54	14.7%	11	8	13	1.8%	0	0	9	4	21.0%	
	Chile	2,456	14	4	5	0	45	16	3.4%	115	72	22	0.9%	0	0	97	0	15.9%	
	Chile_IRAG	148	2	0	0	0	0	2	2.7%	3	2	1	0.7%	0	0	9	4	16.2%	
	Paraguay	278	1	5	0	0	0	2	2.9%	0	3	1	0.4%	0	0</td				

North America / América del Norte

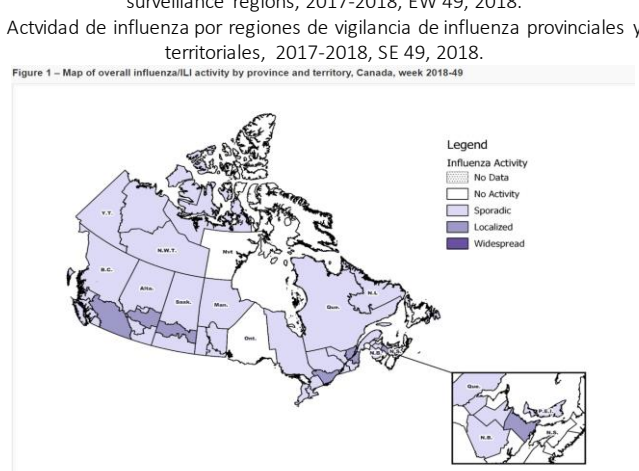
Canada / Canadá

- In EW 49, the percent of ILI visits at the national level was slightly above the 5-year average for the same period (Graph 2). During EW 49, influenza activity continued to increase compared to the previous week: eight regions reported localized activity, and most of the provinces and territories reported sporadic to no ILI activity (Graph 3). During EW 49, influenza detections increased (Graph 1) and influenza A(H1N1)pdm09 predominated among the influenza detections. RSV positivity increased in recent weeks, while adenovirus and parainfluenza also predominated (Graph 4). From EW 41 to 49, the pediatric hospitalizations increased above the average for 2010-2018 and peaked 4-6 weeks earlier than in recent seasons (Graph 5). A total of 228 pediatric hospitalizations were reported, with all but three cases associated with influenza A and mainly among the children under 9 years-of-age. No deaths were registered during the 2018-19 season.
- / En la SE 49, el porcentaje de consultas por ETI a nivel nacional se ubicó ligeramente sobre el promedio de 5 años para el mismo período (Gráfico 2). Durante la SE 49, la actividad de influenza continuó en aumento comparado con la semana previa: ocho regiones reportaron actividad localizada de ETI, y la mayoría de los territorios y provincias reportaron esporádica o nula actividad de ETI (Gráfico 3). Durante la SE 49, las detecciones de influenza aumentaron (Gráfico 1) y los virus influenza A(H1N1)pdm09 predominaron entre las detecciones de influenza. La positividad de VSR aumentó en semanas recientes, y coronovirus y parainfluenza (Gráfico 4). Desde la SE 35 a SE 49, las hospitalizaciones pediátricas aumentaron sobre el promedio para 2010-2018 y llegaron a un pico 4-6 semanas antes que en las previas temporadas (Gráfico 5). Se reportó un total de 228 hospitalizaciones pediátricas, con todos excepto tres casos asociados a influenza A y mayoritariamente en niños menores de 9 años de edad. No se registraron muertes durante la temporada 2018-2019.

Graph 1. Canada: Influenza virus distribution by EW, 2014-18, EW 49. /
Distribución de virus de influenza por SE, 2014-18. SE 49.



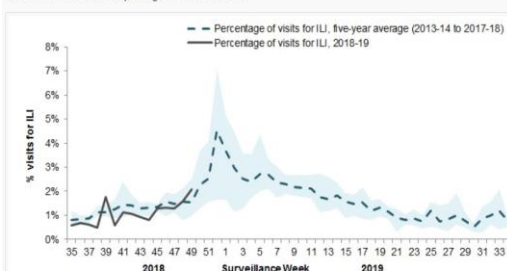
Graph 3. Canada: Influenza activity by provincial and territorial influenza surveillance regions, 2017-2018, EW 49, 2018.
Actividad de influenza por regiones de vigilancia de influenza provinciales y territoriales, 2017-2018, SE 49, 2018.



Graph 2. Canada: Percentage of ILI visits by sentinel sites, EW 49, 2018 (in comparison to 2012-2017 seasons)

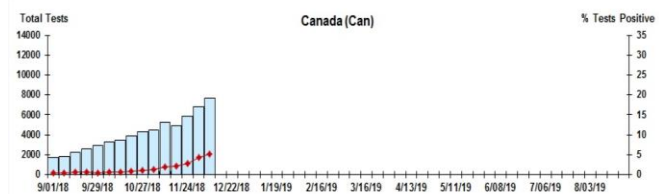
Porcentaje de casos de ETI por sitio centinela , SE 49, 2018 (en comparación con temporadas 2012-2017)

Figure 4 – Percentage of visits for ILI reported by sentinel sites by report week, Canada, weeks 2018-35 to 2018-49
Number of Sentinels Reporting in Week 49: 102



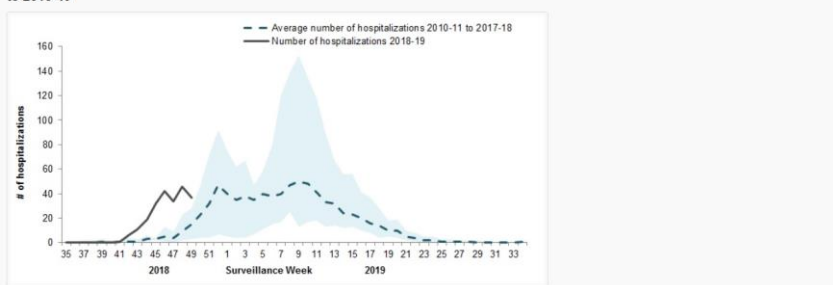
Graph 4. Canada: RSV distribution by EW, 2014-18, EW 49. /
Distribución de VSR por SE, 2014-18. SE 49.

Figure 3: Positive Respiratory syncytial virus (RSV) Tests (%) in Canada by Region by Week of Report



Graph 5. Canada: Number of pediatric hospitalizations (≤ 16 years old) by EW, EW 35-49, 2018. / Número de hospitalizaciones pediátricas (≤ 16 años) por SE, SE 35-49, 2018

Figure 7 – Number of pediatric (≤ 16 years of age) hospitalizations reported by the IMPACT network, by week, Canada, weeks 2018-35 to 2018-49



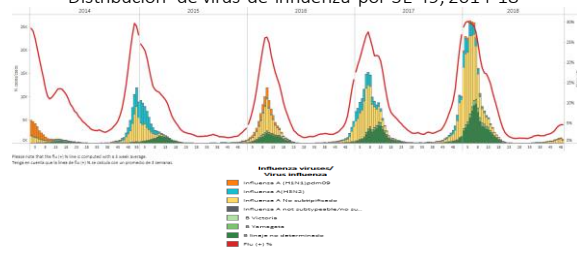
*To view more epi data, view [here](#). / Para ver mas datos epi, vea [aquí](#).

United States / Estados Unidos

- In EW 49, ILI activity at the national level increased at the seasonal threshold of 2.2% (Graph 4). One state (Georgia) experienced high ILI activity and Puerto Rico and four states (Colorado, Connecticut, Kentucky and Louisiana) experienced moderate ILI activity, with minimal activity reported in the rest of the country during EW 49 (Graph 5). Influenza detections continued at low levels, while RSV activity increased in EW 49. Influenza A(H1N1)pdm09, A(H3N2) and Yamagata lineage of B co-circulated in recent weeks (Graph 1,2). The proportion of pneumonia and influenza deaths among all deaths was below the epidemic threshold of 6.6% for EW 48 (Graph 3). Six pediatric deaths due to influenza A were reported during the 2018-2019 season. / En la SE 49, la actividad de ETI a nivel nacional aumentó en el umbral estacional de 2,2% (Gráfico 4). Un estado (Georgia) presentó actividad de ETI elevada y Puerto Rico y cuatro estados (Colorado, Connecticut, Kentucky, y Louisiana) presentaron actividad moderada de ETI, con mínima actividad reportada en el resto del país durante la SE 49 (Gráfico 5). Las detecciones de influenza continuaron a niveles bajos, en tanto la actividad de VSR aumentó en la SE 49. Influenza A(H1N1)pdm09, A(H3N2) y el linaje Yamagata de B co-circularon en semanas recientes (Gráfico 1, 2). La proporción de fallecidos por neumonía e influenza del total de fallecidos se ubicó bajo el umbral epidémico de 6,6% para la SE 48 (Gráfico 3). Se reportaron seis muertes pediátricas debida a influenza A durante la temporada 2018-2019.

Graph 1. US: Influenza virus distribution by EW 49, 2014-18

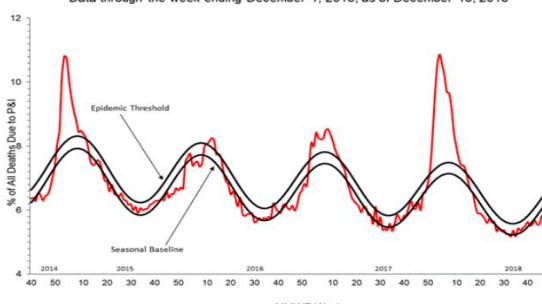
Distribución de virus de influenza por SE 49, 2014-18



Graph 3. US: Pneumonia and influenza mortality. EW 48, 2018

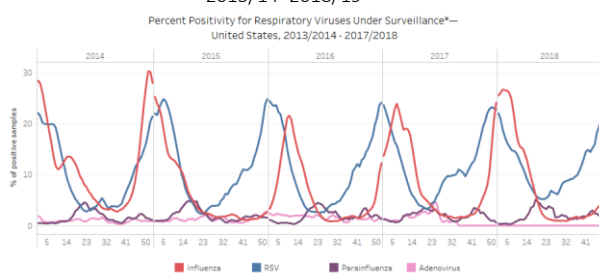
Mortalidad por neumonía e influenza. SE 48, 2018

Pneumonia and Influenza Mortality from the National Center for Health Statistics Mortality Surveillance System Data through the week ending December 1, 2018, as of December 13, 2018



Graph 2. US: Percent positivity for respiratory virus EW 48

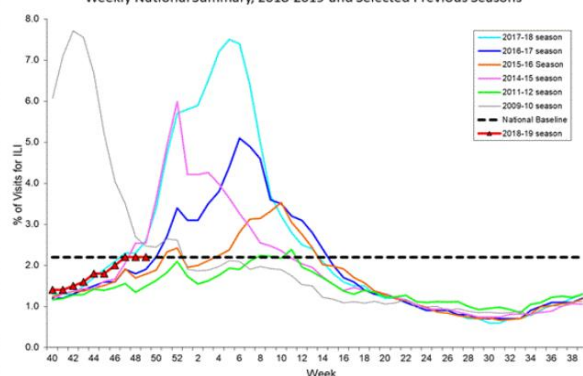
Porcentaje de positividad para virus respiratorios, por SE 48, 2013/14- 2018/19



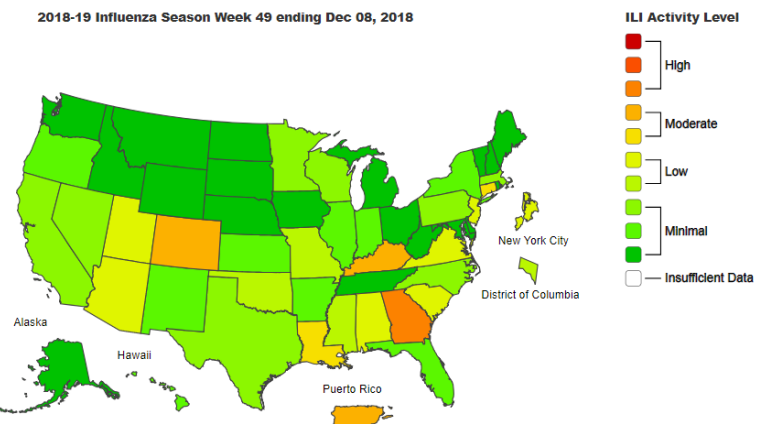
Graph 4. US: Percentage of visits for ILI, 2018-2019. EW 49

Porcentaje de visitas por ETI, 2018-2019. SE 49.

Percentage of Visits for Influenza-like Illness (ILI) Reported by the U.S. Outpatient Influenza-like Illness Surveillance Network (ILINet), Weekly National Summary, 2018-2019 and Selected Previous Seasons



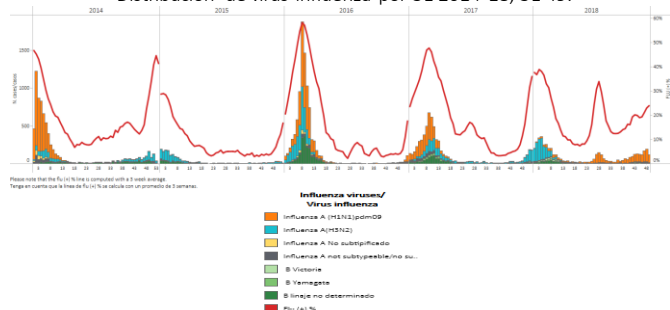
Graph 5. US: ILI activity level indicator determined by state, EW 49, 2018-2019.
Indicador de nivel de actividad de ETI por estado, SE 49, 2018-2019.



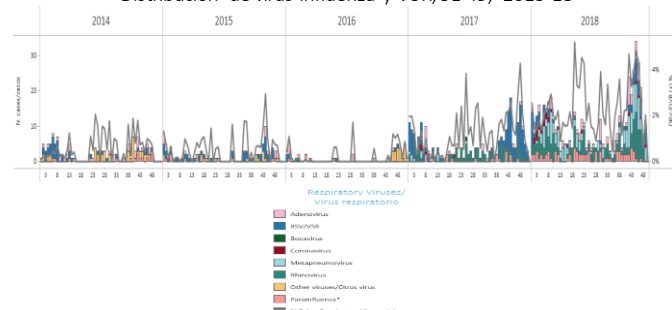
Mexico

- During EW 49, influenza activity slightly increased at the alert threshold, with influenza A(H1N1)pdm09 predominating in recent weeks. Rhinovirus, Parainfluenza and metapneumovirus co-circulated in the last month, with few RSV detections (Graph 1, 2). Up to EW 50, influenza-associated SARI/ILI counts were higher than the levels observed during most other seasons (Graph 3) and 81 influenza-associated SARI/ILI deaths were reported as compared from previous seasons for the same period (Graph 4, 8). In EW 49, 16 states reported higher influenza-associated SARI/ILI counts than the historic average (\geq than 2 standard deviation above): Baja California, Baja California Sur, Chiapas, Distrito Federal, Durango, Guerrero, Oaxaca, Puebla, Quintana Roo, Sinaloa, Tabasco, Tamaulipas, Tlaxcala, Veracruz, and Yucatan (Graph 5). In EW 49, 13 states reported higher influenza-associated SARI/ILI deaths counts than the historic average: Baja California, Campeche, Chiapas, Chihuahua, Oaxaca, Puebla, Queretaro, Quintana Roo, Sinaloa, Tabasco, Tamaulipas, Veracruz and Yucatan (Graph 6). During EW 50, 1236 cumulative influenza-associated SARI/ILI cases were reported, with the highest counts in Oaxaca, Veracruz, Guerrero, Ciudad de Mexico, Oaxaca, and Tlaxcala; and 81 influenza-associated SARI/ILI death predominating in Oaxaca, Veracruz, Estado de Mexico, Hidalgo and Puebla (Graphs 7, 8). / Durante la SE 49, la actividad de influenza aumentó ligeramente en el umbral de alerta, con predominio de influenza A(H1N1)pdm09 en semanas previas. Co-circularon rinovirus, parainfluenza y metapneumovirus en el último mes, con contadas detecciones de VSR (Gráfico 1,2). Hasta la SE 50, los recuentos de IRAG/ETI asociados a influenza fueron superiores a los niveles observados durante la mayoría de las restantes temporadas (Gráfico 3) y se reportaron 81 casos fallecidos de IRAG/ETI asociados a influenza en relación a las previas temporadas para el mismo período (Gráfico 4,8). En la SE 49, 16 estados reportaron mayores recuentos de IRAG/ETI asociados a influenza en comparación con el promedio histórico: Baja California, Baja California Sur, Chiapas, Distrito Federal, Durango, Guerrero, Oaxaca, Puebla, Quintana Roo, Sinaloa, Tabasco, Tamaulipas, Tlaxcala, Veracruz, y Yucatan (Gráfico 5). En la SE 49, 13 estados reportaron mayor recuento de fallecidos por IRAG/ETI asociados a influenza en comparación con el promedio histórico: Baja California, Campeche, Chiapas, Chihuahua, Oaxaca, Puebla, Queretaro, Quintana Roo, Sinaloa, Tabasco, Tamaulipas, Veracruz y Yucatan (Gráfico 6). Durante la SE 50, fue reportado un total acumulado de 1236 casos de IRAG/ETI asociados a influenza con el mayor recuento en Oaxaca, Veracruz, Guerrero, Ciudad de Mexico, Oaxaca, y Tlaxcala; y 81 muertes por IRAG/ETI asociadas a influenza predominando en Oaxaca, Veracruz, Estado de Mexico, Hidalgo y Puebla (Gráficos 7, 8).

Graph 1. Mexico: Influenza virus distribution by EW 2014-18, EW 49.
Distribución de virus influenza por SE 2014-18, SE 49.

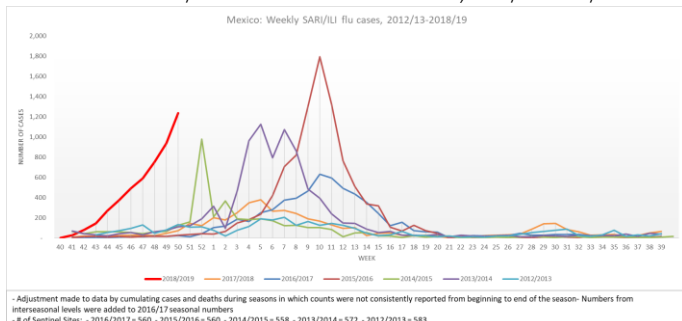


Graph 2. Mexico: Influenza and RSV distribution, EW 49, 2015-18
Distribución de virus influenza y VSR, SE 49, 2015-18



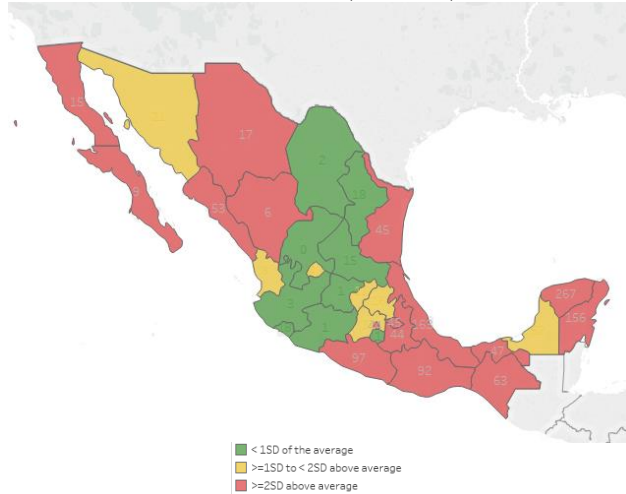
Graph 3. Mexico: Influenza-associated SARI/ILI cases EW 50, 2012/13-2018/19

Casos de IRAG/ETI asociados a influenza SE 50, 2012/13-2018/19

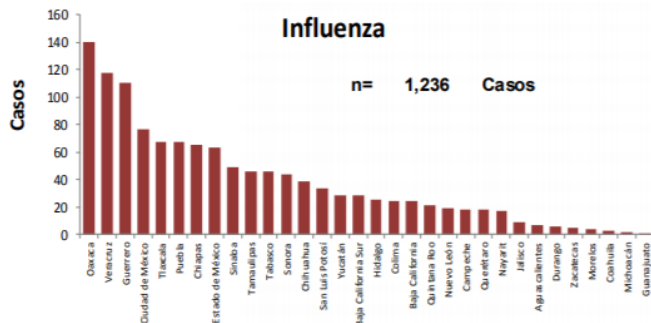


Graph 5. Mexico: Cumulative influenza-associated SARI/ILI cases greater than historic average, EW 21-50 (2014- 2018)

Casos acumulados de IRAG/ETI asociados a influenza superior al promedio histórico, SE 21-50 (2014- 2018)

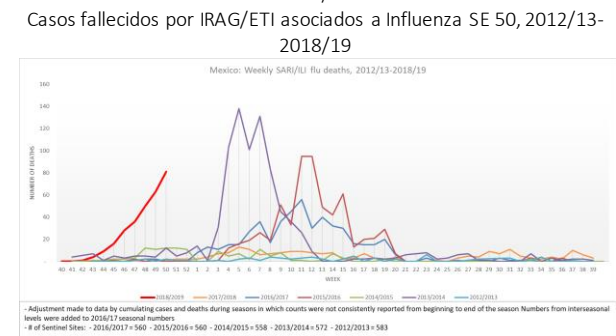


Graph 7. Mexico: SARI/ILI-influenza cases EW 50, 2018/19
Casos de IRAG/ETI asociados a influenza SE 50, 2018/19



*To view more epi data, view here. / Para ver mas datos epi, vea aquí.

Graph 4. Mexico: Influenza-associated SARI/ILI deaths EW 50, 2012/13-2018/19

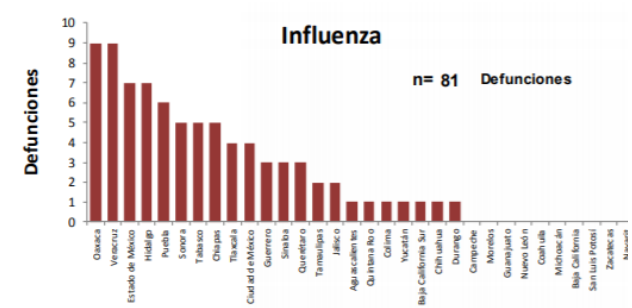


Graph 6. Mexico: Cumulative influenza-associated SARI/ILI deaths greater than historic average, EW 21-50 (2014- 2018)

Fallecidos acumulados de IRAG/ETI asociados a influenza superior al promedio historico, SE 21-50 (2014- 2018)



Graph 8. Mexico: SARI/ILI-influenza deaths EW 50, 2018/19
Casos fallecidos por IRAG/ETI asociados a Influenza SE 50, 2018/19



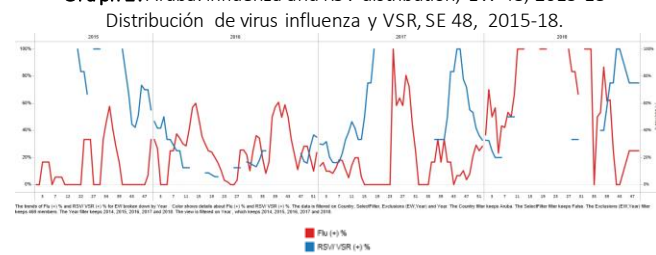
Aruba

- During EW 48, low influenza detections were reported and influenza A(H1N1)pdm09 activity predominated (Graph 1) with increased SARI activity in recent weeks (Graph 3). The proportion of RSV positive samples was higher than the proportion of influenza samples in EW 48 (Graph 2). / Durante la SE 48, se reportaron bajas detecciones de influenza y la actividad de influenza A(H1N1)pdm09 predominó (Gráfico 1) con mayor actividad de IRAG en semanas recientes (Gráfico 3). La proporción de muestras positivas para VSR fue mayor que la proporción de muestras para influenza en la SE 48 (Gráfico 2).

Graph 1. Aruba. Influenza virus distribution EW, EW 48, 2015-18.



Graph 2. Aruba. Influenza and RSV distribution, EW 48, 2015-18.



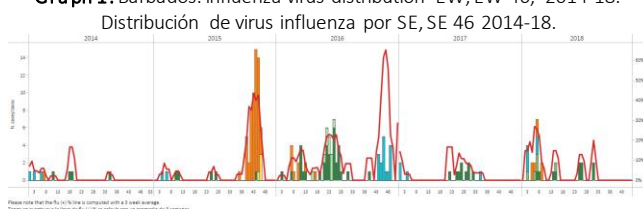
Graph 3. Aruba: Number of SARI cases with samples by EW, EW 48, 2018.
Número de casos IRAG con muestra por SE, SE 48, 2018



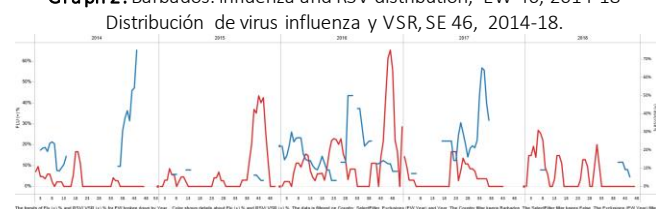
Barbados

- From EW 33 to EW 46, no influenza detections were reported, and influenza B circulated in previous weeks (Graph 1, 2). During 2018, few RSV detections were reported (Graph 2). As of EW 49, the decreased SARI activity was below the levels observed in the 2015-2017 seasons for the same period (Graph 3). / Desde la SE 33 a la SE 46, no se reportaron detecciones de influenza e influenza B circuló en semanas previas (Gráfico 1, 2). Durante 2018, se reportaron escasas detecciones de VSR (Gráfico 2). Hasta la SE 48, la actividad disminuida de IRAG se ubicó por debajo de los niveles observados en las temporadas 2015-2017 para el mismo período (Gráfico 3).

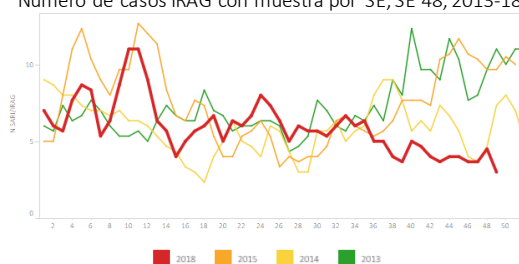
Graph 1. Barbados. Influenza virus distribution EW, EW 46, 2014-18.



Graph 2. Barbados. Influenza and RSV distribution, EW 46, 2014-18.



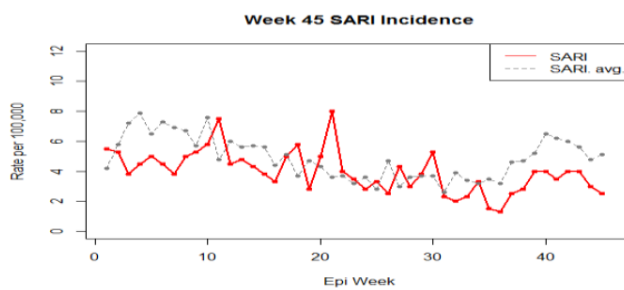
Graph 3. Barbados: Number of SARI cases with samples by EW, EW 48, 2013-18.
Número de casos IRAG con muestra por SE, SE 48, 2013-18



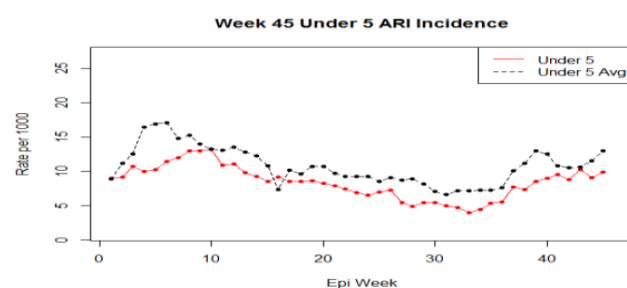
Belize/ Belice

- During EW 45, slightly decreased SARI activity was reported (Graph 1), as compared to the previous five seasons' average. In EW 43, the ARI incidence rate among <5 years of age children was lower than the previous seasons for the same period (Graph 2). In EW 48, few influenza samples were detected with influenza B and A(H1N1)pdm09 circulating in the previous weeks (Graph 3). / Durante la SE 45, se reportó ligero descenso en la actividad de IRAG (Gráfico 1), en comparación con el promedio de las cinco temporadas previas. En la SE 45, la incidencia de IRA entre los niños <5 años fue menor que en las temporadas previas para el mismo período (Gráfico 2). En la SE 48, se detectaron escasas muestras de influenza con circulación de influenza B y A(H1N1)pdm09 en semanas previas (Gráfico 3).

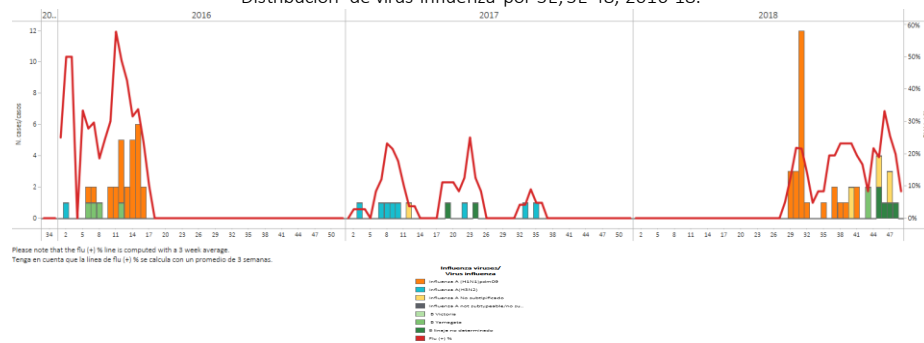
Graph 1. Belize: SARI incidence rate per 100,000, EW 45, 2018
Tasa de incidencia de IRAG por 100.000, SE 45, 2018



Graph 2. Belize: ARI incidence rate per 100,000, <5 years old, EW 45, 2018
Tasa de incidencia de IRA por 100.000, <5 años de edad, SE 45, 2018

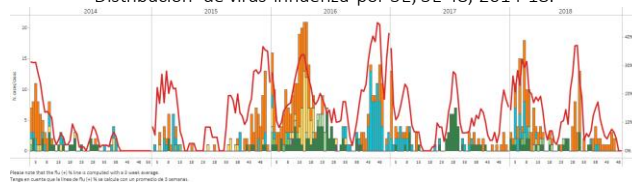


Graph 3. Belize. Influenza virus distribution EW, EW 48, 2016-18.
Distribución de virus influenza por SE, SE 48, 2016-18.

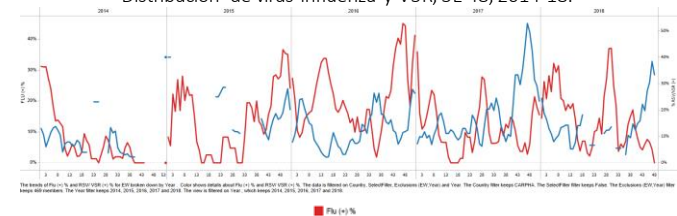
**CARPHA**

- During EW 47, increased influenza detections were reported with influenza A(H1N1)pdm09 circulating (Graph 1). The proportion of influenza positive samples and the proportion of RSV positive samples increased decreased from previous weeks (Graph 2) / Durante la SE 47, se reportaron mayores detecciones de influenza con circulación de influenza A(H1N1)pdm09 (Gráfico 1). La proporción de muestras positivas para influenza y la proporción de muestras positivas para VSR aumentaron en relación a semanas previas (Gráfico 2).

Graph 1. CARPHA. Influenza virus distribution EW, EW 48, 2014-18.
Distribución de virus influenza por SE, SE 48, 2014-18.



Graph 2. CARPHA. Influenza and RSV distribution, EW 48, 2014-18
Distribución de virus influenza y VSR, SE 48, 2014-18.



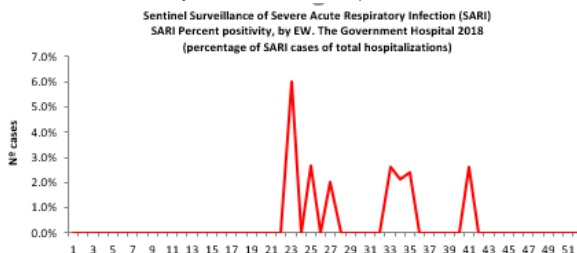
*To view more epi data, view [here](#). / Para ver mas datos epi, vea [aquí](#).

Cayman Island / Islas Caiman

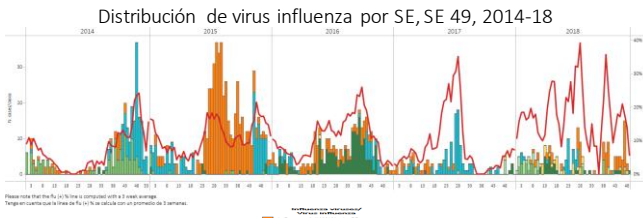
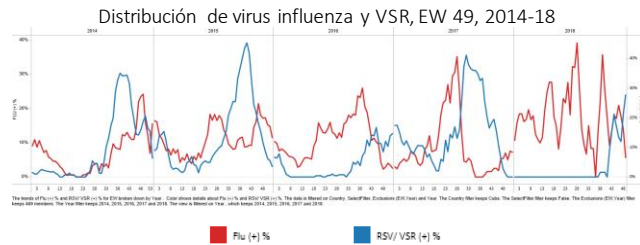
- From EW 23 to EW 44, SARI activity remained at low levels, with no cases reported in EW 44 (Graph 1). / Desde la SE 23 a SE 44, la actividad de IRAG permaneció a niveles bajos, sin casos reportados en la SE 44 (Gráfico 1).

Graph 1. Cayman Island/ Islas Caiman: Percentage of SARI cases by EW, EW 44, 2018.

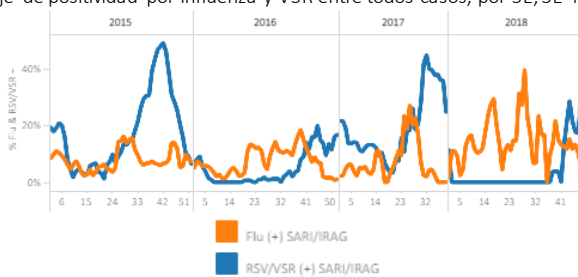
Porcentaje de casos de IRAG por SE, SE 44, 2018

**Cuba**

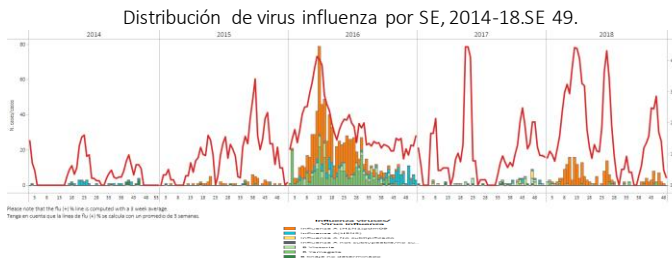
- During EW 48, slightly decreased influenza detections were reported with influenza A(H1N1)pdm09 and B co-circulating (Graph 1); while there was no RSV circulation during the 2018 season until EW 39 (Graph 2). The number of SARI cases decreased and were lower than in the 2017 season for the same period and were among the <5-years-old population, with RSV predominating (Graph 1,3). / Durante la SE 48 se reportaron ligeramente menores detecciones de influenza, con co-circulación de influenza A(H1N1)pdm09 y B (Gráfico 1), en tanto no se reportó circulación de VSR durante la temporada 2018 hasta la SE 39 (Gráfico 2). Los casos de IRAG disminuyeron y estuvieron por debajo de los niveles de la temporada 2017 para el mismo período y fueron entre la población de < 5 años de edad con predominio de VSR (Gráfico 1, 3).

Graph 1. Cuba: Influenza virus distribution by EW, EW 49, 2014-18**Graph 2.** Cuba Influenza and RSV distribution, EW 49, 2014-18**Graph 3.** Cuba: Percent positivity for influenza and RSV among SARI cases by EW, EW 49, 2015-18

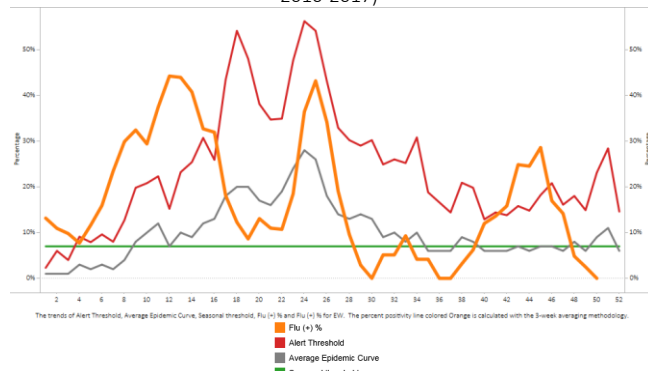
Porcentaje de positividad por influenza y VSR entre todos los casos, por SE, SE 49, 2015-18

*To view more epi data, view [here](#). / Para ver mas datos epi, vea [aquí](#).**Dominican Republic / República Dominicana**

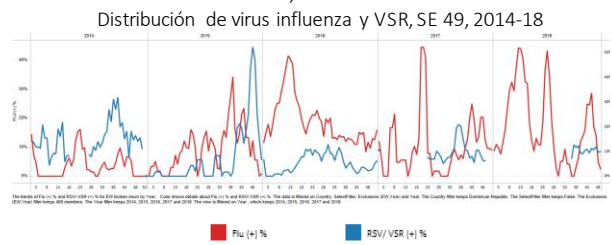
- During EW 49, decreased influenza detections were reported, with influenza B and A(H1N1)pdm09 co-circulating in recent weeks (Graph 1); RSV detections increased from the prior week (Graph 2). Influenza positivity was below the alert threshold and the average epidemic curve (Graph 3). During EW 48, the number of SARI cases slightly decreased from previous weeks (Graph 4), with a similar proportion of influenza and RSV positive samples. The SARI and influenza-associated SARI cases predominated among the <5 years old. / Durante la SE 49, se reportaron menores detecciones de influenza, con co-circulación de influenza B y A(H1N1)pdm09 en semanas recientes (Gráfico 1); las detecciones de VSR aumentaron en relación a la semana previa (Gráfico 2). La positividad de influenza se ubicó bajo el umbral de alerta y el umbral epidémico (Gráfico 3). Durante la SE 48, el número de casos de IRAG disminuyó ligeramente en relación a semanas previas (Gráfico 4), con una proporción similar de muestras positivas para influenza y VSR. Los casos de IRAG y los casos de IRAG asociados a influenza predominaron en los <5 años.

Graph 1. Dominican Republic: Influenza virus distribution EW, 2014-18. EW 49.**Graph 3.** Dominican Republic: Percent positivity for influenza, EW 49 2018 (in comparision to 2010-2017)

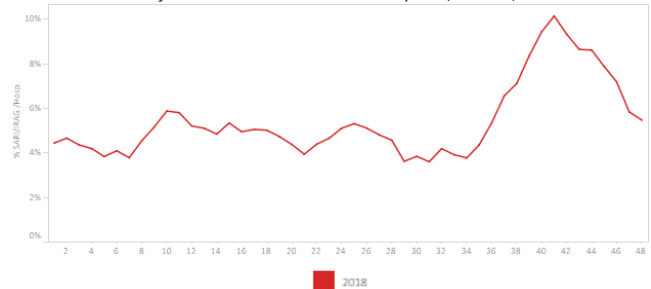
Porcentaje de positividad de influenza, SE 49, 2018 (en comparación a 2010-2017)



*To view more epi data, view [here](#). / Para ver mas datos epi, vea [aquí](#).

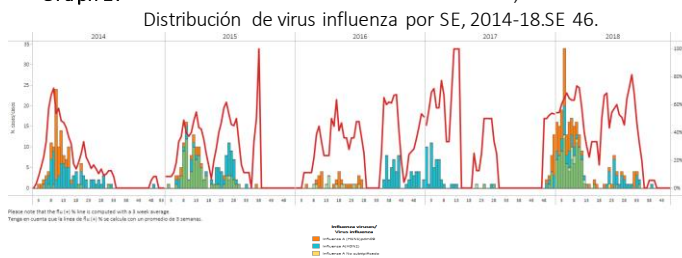
Graph 2. Dominican Republic Influenza and RSV distribution, EW 49, 2014-18**Graph 4.** Dominican Republic: Percent of SARI cases out of total hospitalizations, by EW, EW 48, 2018

Porcentaje de casos de todos IRAG by EW, EW 48, 2018



French Guiana

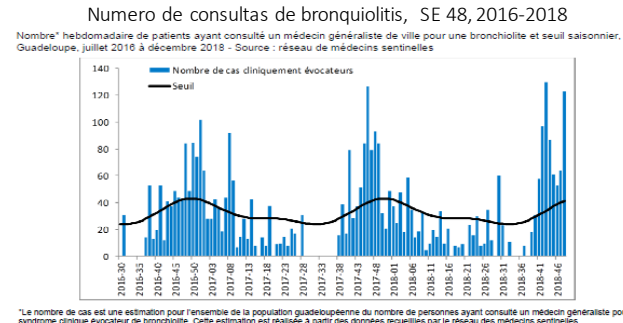
- During EW 46, no influenza detections were reported, with influenza A(H3N2) circulating in recent weeks (Graph 1). Influenza positivity was below the seasonal threshold and the average epidemic curve. / Durante la SE 46, no se reportaron detecciones de influenza, con circulación de influenza A(H3N2) en semanas recientes (Gráfico 1). La actividad de influenza se ubicó bajo el umbral estacional y la curva epidémica.

Graph 1. French Guiana: Influenza virus distribution EW, 2014-18. EW 46.

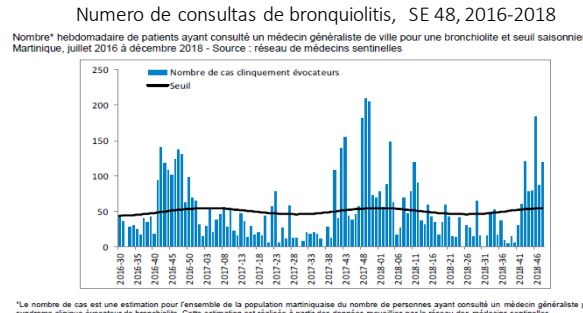
French Territoires / Territorios Franceses

- During EW 48, 2018, bronchiolitis consultations increased after a peak in EW 43 and were higher than the seasonal average in Guadeloupe (Graph 1), while ILI activity remained at low levels (Graph 3). As of EW 48, in Martinique, bronchiolitis activity remained above the seasonal levels for the last 5 weeks of the 2018 season (Graph 2). / Durante la SE 48 de 2018, las consultas por bronquiolitis aumentaron luego de un pico en la SE 43 y fueron mayores que el promedio estacional en Guadalupe (Gráfico 1), en tanto la actividad de ETI se mantuvo a niveles bajos (Grafico 3). Hasta la SE 48, en Martinica, la actividad de bronquiolitis permaneció sobre los niveles estacionales durante las últimas cinco semanas de la temporada 2018 (Gráfico 2).

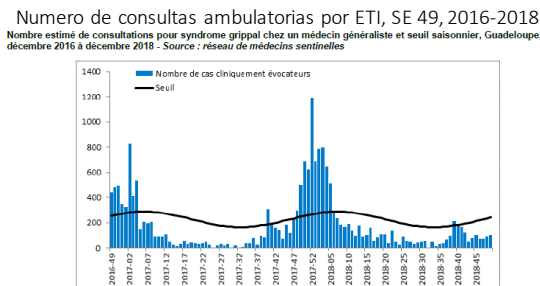
Graph 1. Guadeloupe: Number of bronchiolitis consultations, EW 48, 2016-2018



Graph 2. Martinique: Number of bronchiolitis consultations, EW 48, 2016-2018



Graph 3. Guadeloupe: Number of ambulatory consultations for ILI, EW 49, 2016-2018

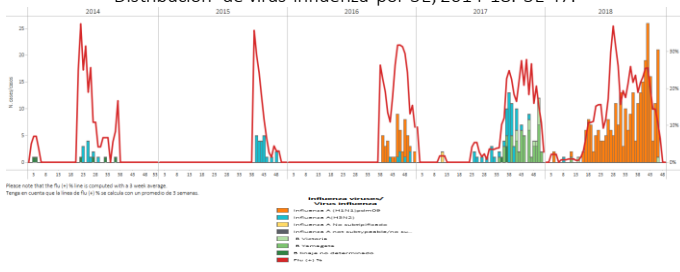


Haiti

- During 2018, influenza activity began earlier than in the previous 2014-2017 seasons and peaked in EW 30. During EW 47, influenza cases decreased as compared to the previous weeks, with influenza A(H1N1)pdm09 predominated (Graph 1). As of EW 49, the number of SARI hospitalizations increased from previous weeks; and was higher than the levels observed in 2017 for the same period (Graph 2), with most of the cases among the <5 years old infants. / Durante 2018, la actividad de influenza inició más tempranamente que en las temporadas previas de 2014-2017 y presentó un pico en la SE 30. Durante la SE 47, los casos de influenza disminuyeron en comparación a las semanas previas, con predominio de influenza A(H1N1)pdm09 (Gráfico 1). Hasta la SE 49, el número de hospitalizaciones por IRAG se encuentra en descenso respecto a semanas previas; siendo superior a los niveles observados en 2017 para el mismo período (Gráfico 2); con la mayoría de los casos reportaron entre los niños <5 años de edad.

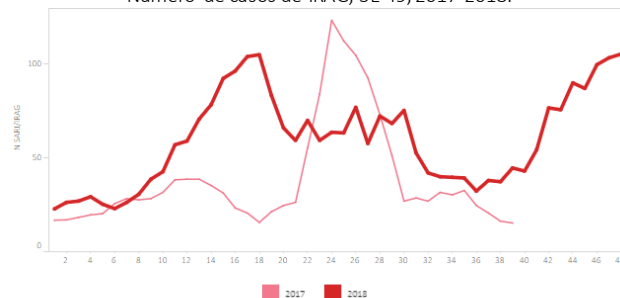
Graph 1. Haiti: Influenza virus distribution EW, 2014-18. EW 47.

Distribución de virus influenza por SE, 2014-18. SE 47.



Graph 2. Haiti: Number of SARI cases, EW 49, 2017-2018. /

Número de casos de IRAG, SE 49, 2017-2018.



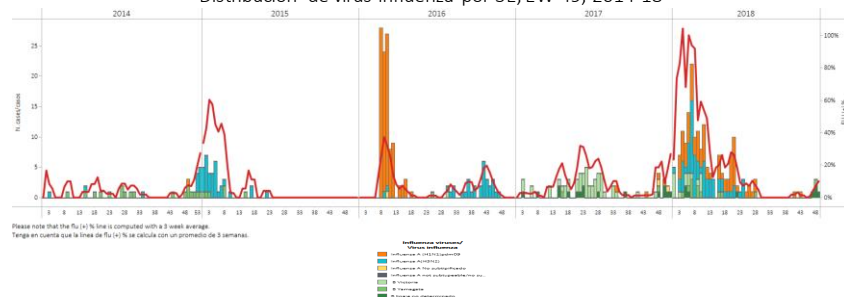
*To view more epi data, view [here](#). / Para ver mas datos epi, vea [aquí](#).

Jamaica

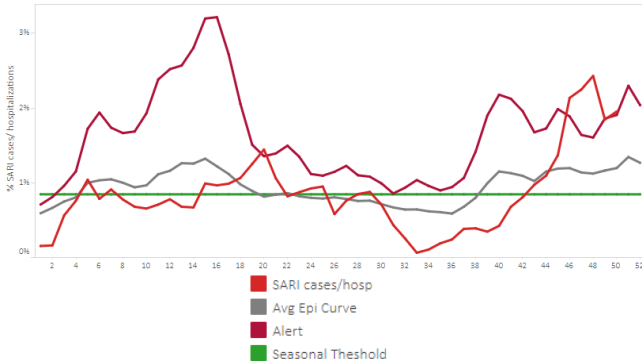
- During EW 49, SARI activity slightly increased above the average epidemic curve, as compared to the 2016-2017 seasons (Graph 2). The number of ARI cases remained above the seasonal threshold, as compared to the 2014-2017 seasons for the same period (Graph 3) During EW 41 and EW 49, few influenza B detections were reported with no influenza cases reported in the previous two months (Graph 1). Increased number of RSV positive samples was detected since EW 44 / Durante la SE 49, la actividad de IRAG aumentó ligeramente sobre la curva epidémica promedio, en comparación a las temporadas 2016-2017 (Gráfico 2). El número de casos de IRA permaneció sobre el umbral estacional, respecto a las temporadas 2014-2017 para el mismo período (Gráfico 3). Durante la SE 41 y SE 49, se reportaron escasa detecciones de influenza B, sin reporte de casos de influenza en los dos meses previos (Gráfico 1). Se detectó un mayor número de muestras positivas a VSR desde la SE 44.

Graph 1. Jamaica: Influenza virus distribution by EW, EW 49, 2014-18

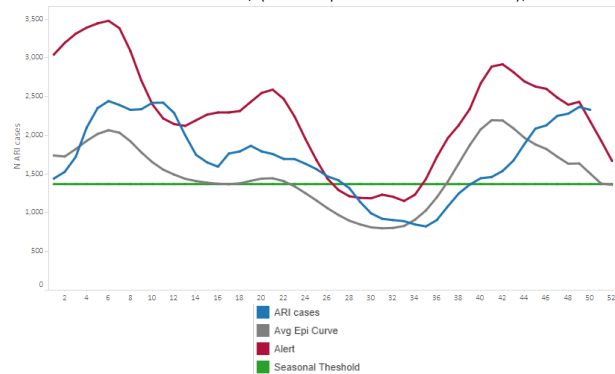
Distribución de virus influenza por SE, EW 49, 2014-18

**Graph 2.** Jamaica: % SARI hospitalizations among total hospitalizations, EW 49, 2016-2018. /

% hospitalizaciones de casos IRAG entre total de hospitalizaciones, SE 49, 2016-2018.

*To view more epi data, view [here](#). / Para ver mas datos epi, vea [aquí](#).**Graph 3.** Jamaica: Number of ARI cases (compared to 2014-2018), EW 49

Número de casos de IRA, (en comparación a 2014-2018), SE 49

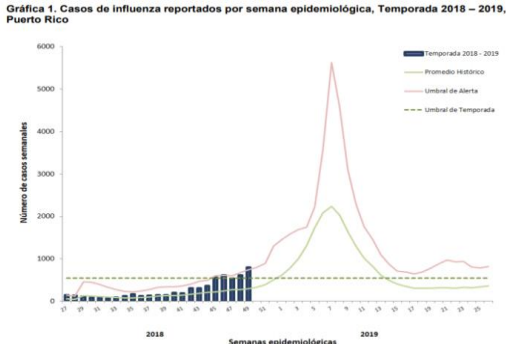


Puerto Rico

- During EW 49, increased influenza cases were detected at the seasonal threshold, with predominance of influenza A(H1N1)pdm09 (Graph 1). During EW 49, no ILI activity was reported, and it remained below the average epidemic curve up to EW 21 (Graph 2). / Durante la SE 49, se han detectado mayores casos de influenza en el umbral estacional, con predominio de influenza A(H1N1)pdm09 (Gráfico 1). Durante la SE 49, no se reportó actividad de ETI, y la misma permaneció por debajo de la curva epidémica media hasta la SE 21 (Gráfico 2).

Graph 1. Puerto Rico: Influenza-positive cases by EW 49, 2017-18

Casos positivos para influenza SE 49, 2017-18

**Graph 2.** Puerto Rico: ILI epidemic rates by EW 20, 2018 /

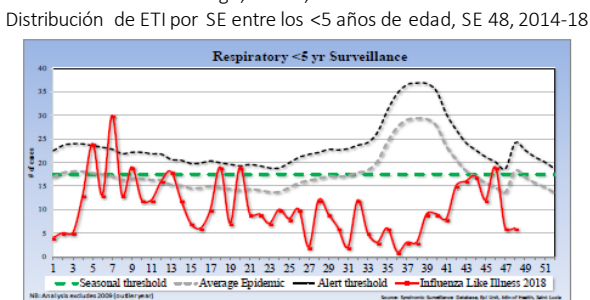
Tasas de ETI por SE, SE 20, 2018.

GRÁFICA 4. Informe de Niveles Epidemiológicos de Síndromes Gripales, Semana 20, Puerto Rico 2018

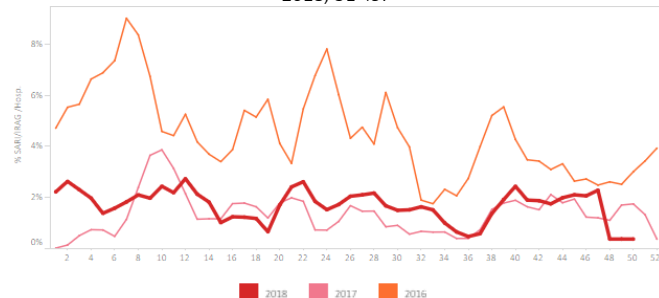
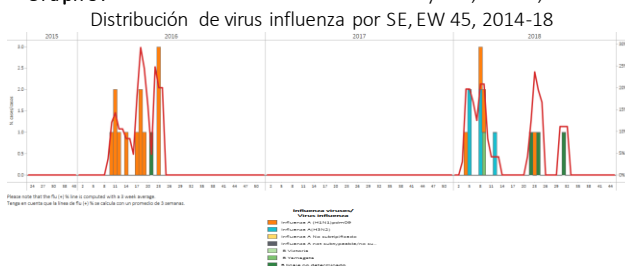


Saint Lucia

- During EW 48, the number of cases with respiratory symptoms among children under 5 years of age decreased below the seasonal threshold (Graph 1). During EW 49, SARI activity decreased and was lower than the levels from the 2016 season for the same period (Graph 2), with SARI admissions predominating among the 1 to 4 years of age population. No influenza activity was reported since EW 35 (Graph 3) / Durante la SE 48, el número de casos con síntomas respiratorios en niños menores de 5 años de edad disminuyó bajo el umbral estacional (Gráfico 1). Durante la SE 49, la actividad de IRAG disminuyó y fue menor que los niveles de la temporada 2016 para el mismo período (Gráfico 2), con predominio de las admisiones por IRAG entre el grupo de 1 y 4 años de edad. No se reportó actividad de influenza desde la SE 35 (Gráfico 3).

Graph 1. Saint Lucia: ILI cases distribution by EW among the < 5 years of age, EW 48, 2014-18**Graph 2.** Saint Lucia: Percent of SARI cases per total hospitalizations by year, 2016-2018, EW 49. /

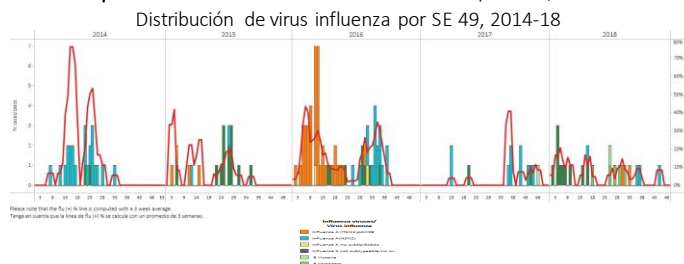
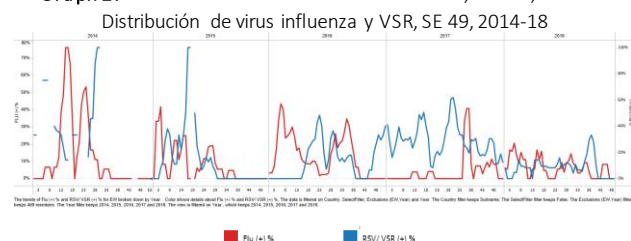
Porcentaje de casos de IRAG por todos hospitalizaciones por año, 2016-2018, SE 49.

**Graph 3.** St. Lucia: Influenza virus distribution by EW, EW 45, 2014-18

*To view more epi data, view [here](#). / Para ver mas datos epi, vea [aquí](#).

Suriname

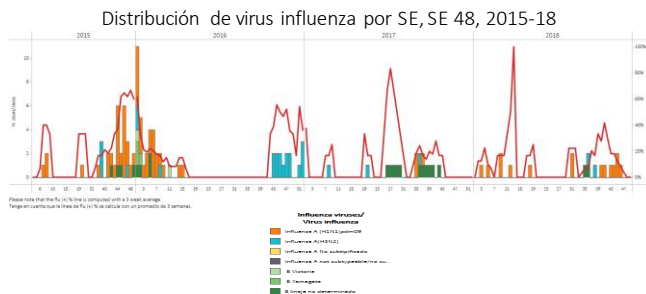
- From EW 44 to EW 49, ILI cases increased was reported with no activity in the previous eight weeks; while SARI-related hospitalizations decreased in EW 49 and were higher than the 2016-2017 seasons for the same period (Graph 3, 4). In EW 49, increased SARI cases was associated with similar proportion of RSV samples and influenza samples; and predominated among the <5 years-of-age population. During EW 49, low influenza activity was reported, with influenza A(H3N2) circulating (Graph 1); RSV activity decreased (Graph 2). / Desde la SE 44 hasta la SE 49, se reportó un aumento de casos de ETI sin actividad en las ocho semanas previas; en tanto las hospitalizaciones relacionadas con IRAG disminuyeron en la SE 49 y fueron superiores que en las temporadas 2016-2017 para el mismo período (Gráfico 3, 4). En la SE 49, el aumento de casos de IRAG se asoció a similar proporción de muestras positivas para VSR y para influenza; y predominó entre la población de <5 años de edad. Durante la SE 49, se reportó baja actividad de influenza, con circulación de influenza A(H3N2) (Gráfico 1); la actividad de VSR disminuyó (Gráfico 2).

Graph 1. Suriname: Influenza virus distribution by EW 49, 2014-18**Graph 3.** Suriname: Number of ILI cases, by age, by EW, 2016-2018.EW 49**Graph 2.** Suriname: Influenza and RSV distribution, EW 49, 2014-18**Graph 4.** Suriname: % SARI hospitalizations per total hospitalizations, by EW, 2016-2018.EW 49.

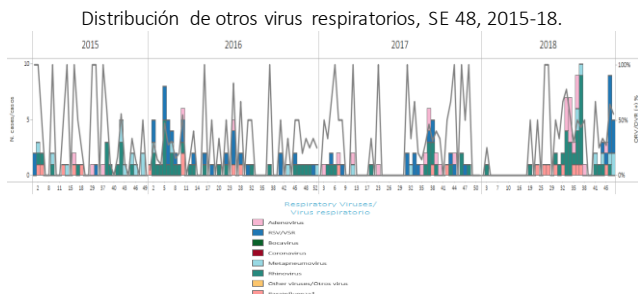
Trinidad & Tobago

- During EW 48, decreased influenza detections were reported, with influenzaA(H1N1)pdm09 predominating in previous weeks (Graph 1). Rhinovirus and parainfluenza virus circulated in recent weeks, and there were no RSV detections reported (Graph 2). As of EW 45, SARI activity decreased from the previous week (Graph 3). / Durante la SE 48, se reportaron menores detecciones de influenza, con predominio de influenzaA(H1N1)pdm09 en semanas previas (Gráfico 1). Rhinovirus y parainfluenza circularon en semanas recientes y no se reportaron detecciones de VSR (Gráfico 2). Hasta la SE 45, la actividad de IRAG disminuyó en relación a la semana previa (Gráfico 3).

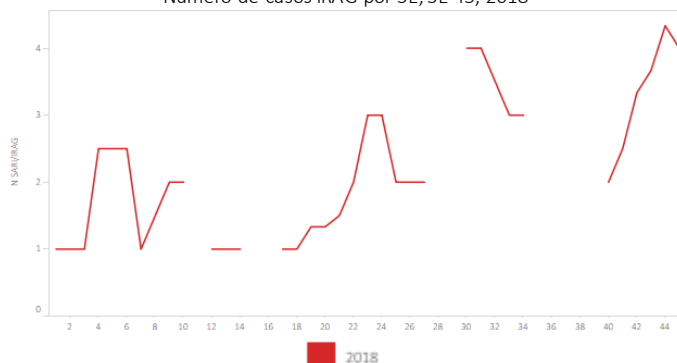
Graph 1. Trinidad & Tobago: Influenza virus distribution by EW, EW 48, 2015-18



Graph 2. Trinidad & Tobago. Other respiratory virus distribution, EW 48, 2015-18



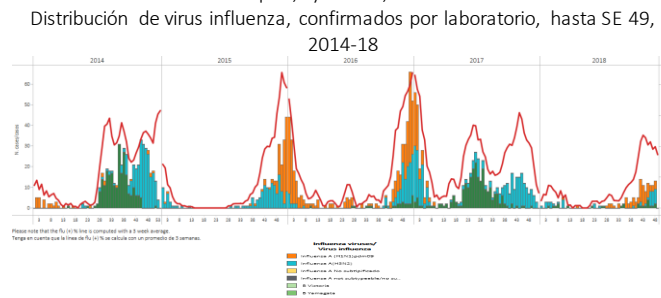
Graph 3. Trinidad & Tobago: Number of SARI cases by EW, EW 45, 2018
Número de casos IRAG por SE, SE 45, 2018



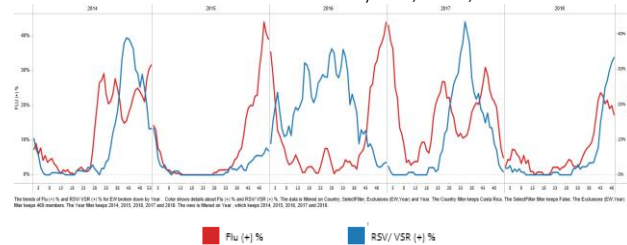
Costa Rica

- During EW 49, influenza activity slightly decreased from the previous weeks with influenza A(H3N2) predominating (Graph 1). Influenza activity during EW 49 was lower than during the 2017 season for the same period and RSV activity increased (Graph 1, 2). In EW 49, the proportion of SARI hospitalizations decreased and the proportion of cases with ICU admissions (37%) were higher than in the previous weeks and higher as compared to the 2017 season for the same period, while the proportion of SARI-associated deaths (3%) decreased (Graph 3). / Durante la SE 49, la actividad de influenza disminuyó ligeramente en relación a las semanas previas con predominio de influenza A(H3N2) (Gráfico 1). La actividad de influenza durante la SE 49 fue menor que durante la temporada 2017 para el mismo período y la actividad de VSR aumentó (Gráficos 1, 2). En la SE 4, la proporción de hospitalizaciones por IRAG y la proporción de casos de IRAG admitidos a UCI (37%) fueron mayores que en las semanas previas y mayores en comparación a la temporada 2017 para el mismo período, mientras que la proporción de muertes asociadas a IRAG (3%) disminuyó (Gráfico 3).

Graph 1. Costa Rica: Influenza virus distribution, Laboratory confirmed samples, by EW 49, 2014-18



Graph 2. Costa Rica: Influenza and RSV distribution, EW 49, 2014-18
Distribución de virus influenza y VSR, SE 49, 2014-18



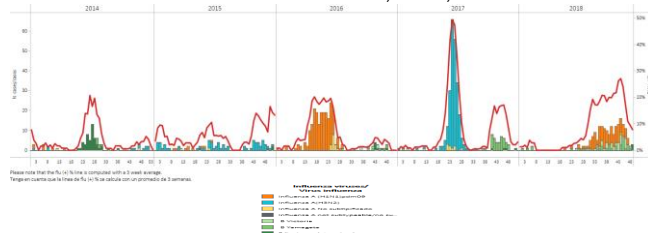
Graph 3. Costa Rica: Number of SARI cases- in reporting sentinel sites by year. Costa Rica, EW 49, 2015-2018
Número de casos IRAG- en sitios centinela reportado por año. Costa Rica, SE 49, 2015-2018



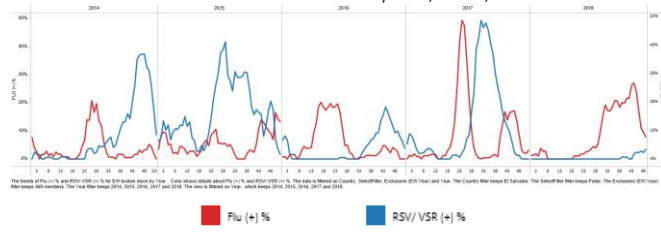
El Salvador

- During EW 49, influenza activity decreased below the average epidemic curve with influenza A(H1N1)pdm09 and B co-circulating (Graphs 1, 3). Few RSV detections were reported as compared to the previous season (Graph 2). During EW 49, the percentage of SARI cases increased and were similar to levels observed in the 2016 season (Graph 4, 5); while pneumonia counts decreased from the previous weeks and were lower than during the 2016 season and similar to the levels of the 2017 season (Graph 5). / Durante la SE 49, la actividad de influenza disminuyó bajo la curva epidémica promedio con co-circulación de influenza A(H1N1)pdm09 y B (Gráficos 1, 3). Se reportaron contadas detecciones de VSR en relación a la temporada anterior (Gráfico 2). Durante la SE 49, el porcentaje de casos IRAG aumentó y fue menor a los niveles registrados en la temporada 2016 (Gráfico 4); en tanto los recuentos de neumonía disminuyeron en relación a las semanas previas y fueron menores que durante la temporada 2016 y similares a los niveles de la temporada 2017 (Gráfico 5).

Graph 1. El Salvador: Influenza virus distribution, EW 49, 2014-18
Distribución de virus influenza, SE 49, 2014-18

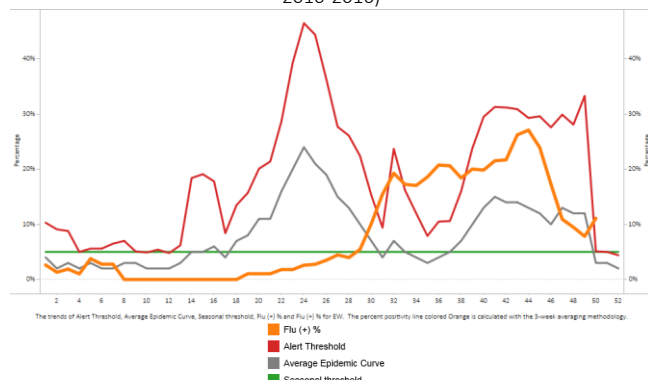


Graph 2. El Salvador: Influenza and RSV distribution, EW 49, 2014-18
Distribución de virus influenza y VSR, SE 49, 2014-18



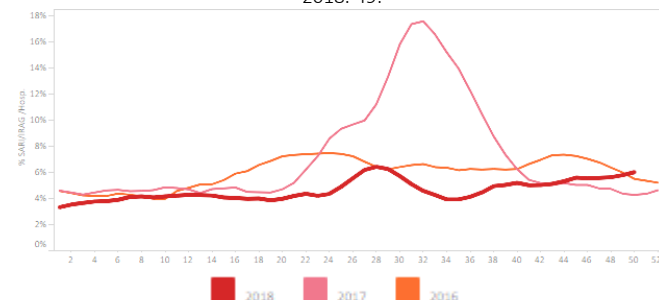
Graph 3. El Salvador: Percent positivity for influenza, EW 49, 2018 (in comparision to 2010-2016)

Porcentaje de positividad de influenza, SE 49, 2018 (en comparación a 2010-2016)



Graph 4. El Salvador: Percentage of SARI cases out of total hospitalizations, by EW, 2016- 2018. EW 49

Porcentaje de casos por IRAG de todas las hospitalizaciones, por SE, 2016-2018. 49.



Graph 5. El Salvador: Number of pneumonia cases by EW, 2016- 2018. EW 49.

Recuento de casos de neumonía, por SE, 2016- 2018. SE 49.



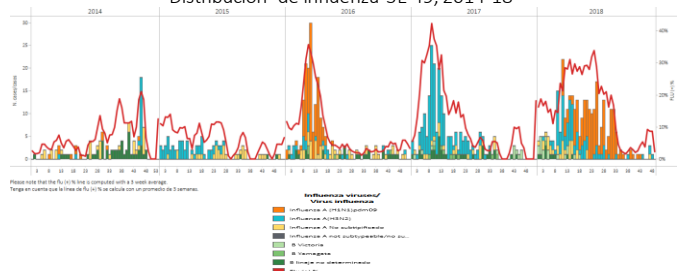
*To view more epi data, view [here](#). / Para ver mas datos epi, vea [aquí](#).

Guatemala

- During EW 49, influenza detections decreased with influenza A(H1N1)pdm09 and A(H3N2) co-circulating in recent weeks (Graph 1). Influenza positivity was below the seasonal threshold, as compared to the 2010-2017 period (Graph 3); while the RSV activity remained elevated in the last weeks and higher than the levels reported in the 2017 season (Graph 2). From EW 45 to EW 49, the percentage of SARI cases among all hospitalizations increased and was lower than during the 2017 season and associated to increased proportion of RSV detections compared to influenza detections (Graph 4, 5). The highest proportion of SARI cases was among <5 years old population. During EW 49, pneumonia and ARI activity decreased and were slightly similar to the counts reported in the 2017 season (Graph 6, 7). / Durante la SE 49, las detecciones de influenza disminuyeron con co-circulación de influenza A(H1N1)pdm09 y A(H3N2) (Gráfico 1). La positividad de influenza se ubicó bajo el umbral estacional, en comparación al período 2010-2017 (Gráfico 3); en tanto la actividad de VSR permaneció elevada en las últimas semanas y fue superior a los niveles de la temporada 2017 (Gráfico 2). Desde la SE 45 hasta la SE 49, el porcentaje de casos de IRAG del total de hospitalizaciones disminuyó y fue menor que en la temporada 2017 y asociada a mayor proporción de detecciones de VSR comparado con las detecciones de influenza (Gráfico 4, 5). La mayor proporción de casos de IRAG fue entre la población de <5 años de edad (Gráfico 4). Durante la SE 49, las actividades de neumonía e IRA disminuyeron y fueron ligeramente similares a los recuentos reportados en la temporada 2017 (Gráficos 6, 7).

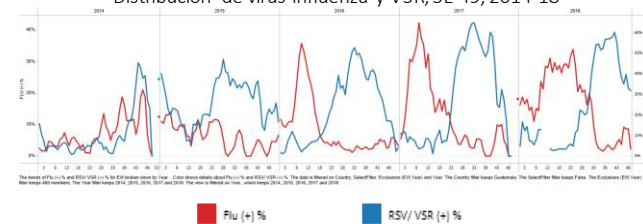
Graph 1. Guatemala. Influenza virus distribution EW 49, 2014-18

Distribución de influenza SE 49, 2014-18

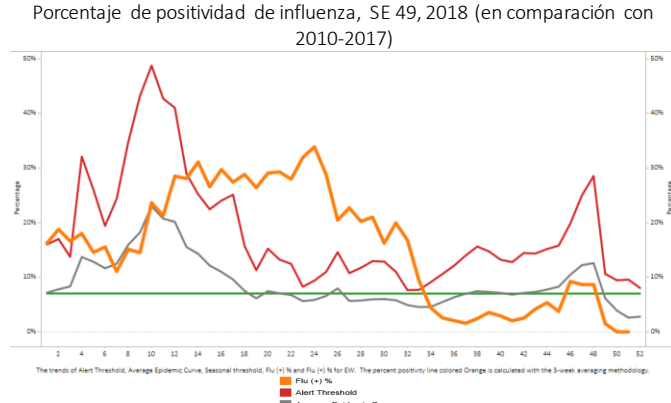


Graph 2. Guatemala: Influenza and RSV distribution, EW 49, 2014-18

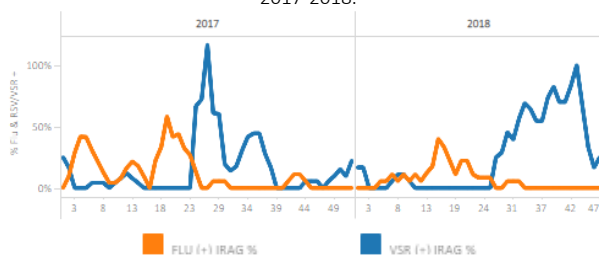
Distribución de virus influenza y VSR, SE 49, 2014-18



Graph 3. Guatemala: Percent positivity for influenza, EW 49, 2018 (in comparision to 2010-2017) / Porcentaje de positividad de influenza, SE 49, 2018 (en comparación con 2010-2017)



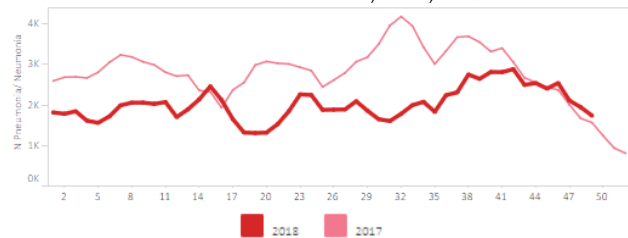
Graph 5. Guatemala: Percent positivity for influenza and RSV among SARI cases, EW 48, 2017-2018. / Porcentaje de positividad de influenza y VSR entre los casos de IRAG, SE 48, 2017-2018.



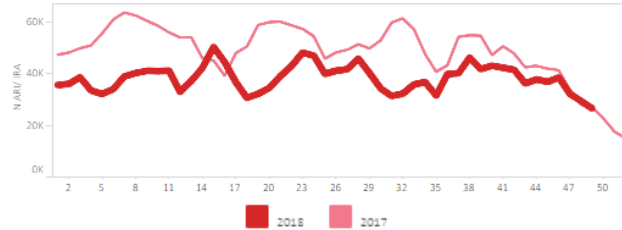
Graph 4. Guatemala: Number of SARI cases, EW 49, 2017-2018. / Número de casos IRAG, SE 49, 2017-2018.



Graph 6. Guatemala: Number of pneumonia cases, EW 49, 2017-2018. / Número de casos de neumonía, SE 49, 2017-2018.



Graph 7. Guatemala: Number of ARI cases, EW 49, 2017-2018. / Número de casos de IRA, SE 49, 2017-2018.

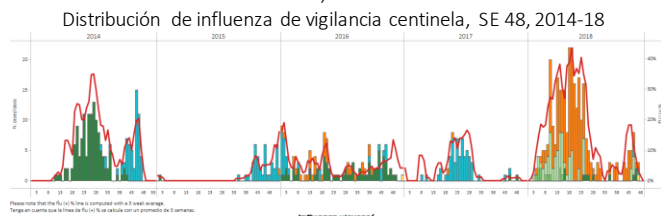


*To view more epi data, [view here](#). / Para ver mas datos epi, [vea aquí](#).

Honduras

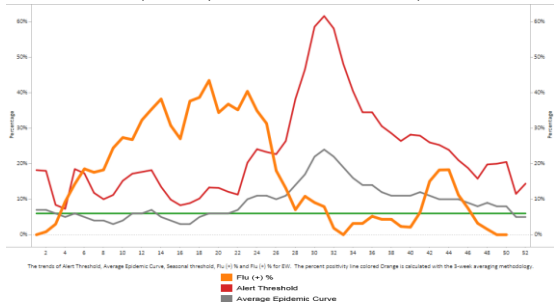
- During EW 48, at the sentinel sites, influenza activity slightly decreased below the seasonal threshold (Graph 3) with influenza B predominating (Graph 1); decreased RSV activity was reported in the last month (Graph 2). The influenza positive cases were reported mainly from Cortes and Francisco Morazán departments and most cases were among children under 5 years of age. During EW 49, the counts of SARI cases and SARI-associated deaths increased as compared to the previous weeks and remained lower than the levels of the 2012-2017 seasons (Graph 4). / Durante la SE 48 de 2018, en los sitios centinela, la actividad de influenza disminuyó ligeramente bajo el umbral estacional (Gráfico 3) con predominio de influenza A(H1N1)pdm09 (Gráfico 1); se reportó menor actividad de VSR en el último mes (Gráfico 2). Los casos positivos de influenza fueron reportados principalmente en los departamentos de Cortés y Francisco Morazán, y la mayoría de los casos fueron en niños menores de 5 años de edad. Durante la SE 49, el recuento de casos de IRAG y de muertes asociadas a IRAG aumentaron en comparación a las semanas previas y permanecieron menores a los niveles de las temporadas 2012-2017 (Gráfico 4).

Graph 1. Honduras. Influenza virus distribution from sentinel surveillance, EW 48, 2014-18

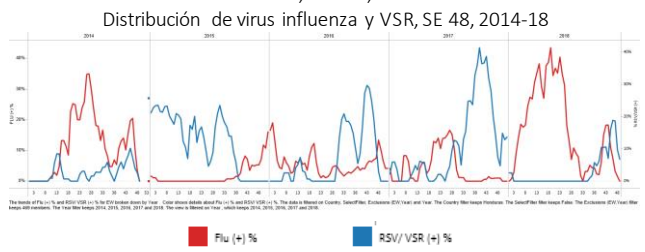


Graph 3. Honduras : Percent positivity for influenza,from sentinel surveillance, EW 48, 2018 (in comparision to 2010-2017)

Porcentaje de positividad de influenza, de la vigilancia centinela, SE 48, 2018 (en comparación con 2010-2017)



Graph 2. Honduras: Influenza and RSV distribution form sentinel surveillance, EW 48, 2014-18



Graph 4. Honduras: Number of SARI cases out of total hospitalizations, EW 49, 2012-2018. /

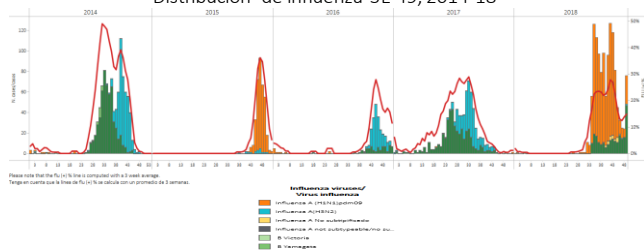
Número de casos IRAG de todas hospitalizaciones, SE 49, 2012-2018.



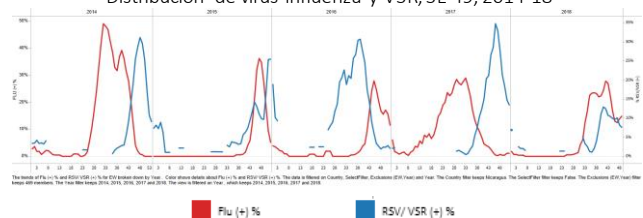
Nicaragua

- During the 2018 season, influenza activity was reported at low levels. From EW 29 to EW 49, influenza A(H1N1)pdm09 activity remained elevated above the seasonal levels and the average epidemic curve (Graph 1, 3), and RSV activity slightly increased in the last two months (Graph 2). Pneumonia case counts decreased after peaking in EW 44 and were higher as compared to the levels observed in 2014-2017 (Graph 4). The ARI case counts slightly decreased in EW 49 and were similar to the levels reported in 2016-2017 for the same period (Graph 5). / Durante la temporada 2018, la actividad de influenza se reportó a niveles bajos. Desde la SE 29 a la SE 48, la actividad de influenza A(H1N1)pdm09 permaneció elevada sobre los niveles estacionales y la curva epidémica promedio (Grafico 1), y la actividad de VSR aumentó ligeramente en los últimos dos meses (Gráfico 2). El recuento de casos de neumonía disminuyó luego de un pico en la SE 44 y fue superior en comparación a los niveles observados en 2016-2017 para el mismo periodo (Gráfico 4). Los recuentos de IRA disminuyeron ligeramente en la SE 49 y fueron superiores a los niveles reportados en 2016-2017 para el mismo período (Gráfico 5).

Graph 1. Nicaragua. Influenza virus distribution EW 49, 2014-18
Distribución de influenza SE 49, 2014-18

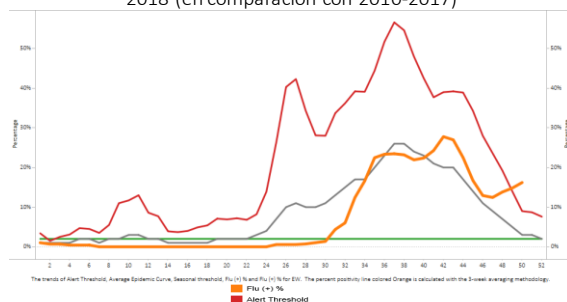


Graph 2. Nicaragua: Influenza and RSV distribution, EW 49, 2014-18
Distribución de virus influenza y VSR, SE 49, 2014-18



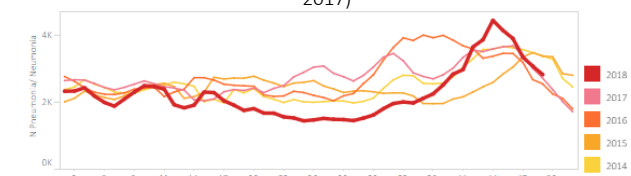
Graph 3. Nicaragua : Percent positivity for influenza,from sentinel surveillance, EW 49, 2018 (in comparision to 2010-2017)

Porcentaje de positividad de influenza, de la vigilancia centinela, SE 49, 2018 (en comparación con 2010-2017)

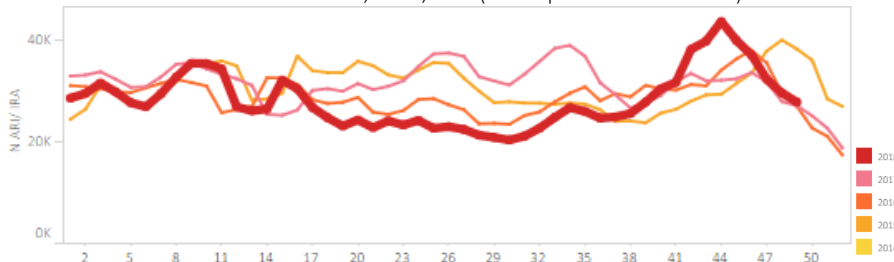


Graph 4. Nicaragua : Number of pneumonia cases, EW 49, 2018 (in comparison to 2014-2017) /

Número de casos de neumonía, SE 49, 2018 (en comparación a 2014-2017)



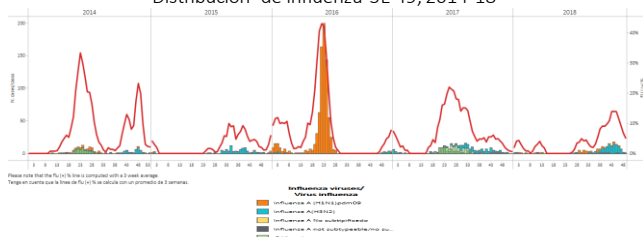
Graph 5. Nicaragua : Number of ARI cases, EW 49, 2018 (in comparison to 2014-2017) /
Número de casos de IRA, SE 49, 2018 (en comparación a 2014-2017).



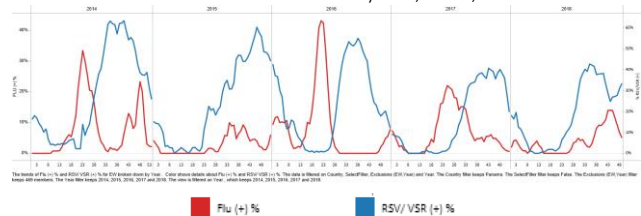
Panama

- During the 2018 season, at the national level, influenza activity remained at low levels. In EW 49, decreased influenza percent of positivity was reported with influenza A(H3N2) predominance (Graph 1). RSV detections slightly increased as compared to previous weeks (Graph 2). / Durante la temporada 2018, a nivel nacional, la actividad de influenza permaneció a niveles bajos. En la SE 49, se han reportado menor porcentaje de positividad de influenza con predominio de influenza A(H3N2) (Gráfico 1). Las detecciones de VSR aumentaron ligeramente respecto a las semanas previas (Gráfico 2).

Graph 1. Panama. Influenza virus distribution EW 49, 2014-18
Distribución de influenza SE 49, 2014-18



Graph 2. Panama: Influenza and RSV distribution, EW 49, 2014-18
Distribución de virus influenza y VSR, SE 49, 2014-18

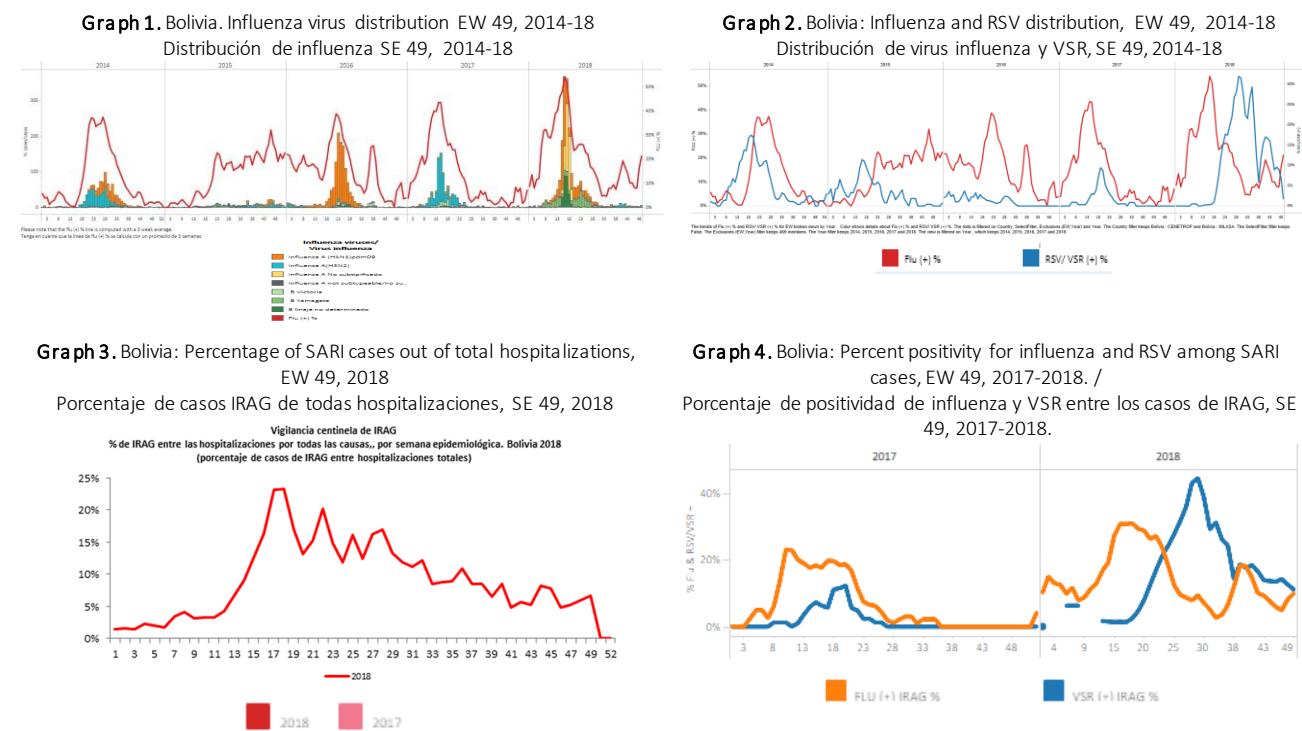


*To view more epi data, view [here](#). / Para ver mas datos epi, vea [aquí](#).

South America / América del Sur – Andean countries / Países andinos:

Bolivia

- During EW 49 and in recent weeks, at the national level, the percentage of SARI cases decreased from the previous weeks and was higher than the levels observed in the 2017 season for the same period (Graph 3); with RSV percent positivity among SARI cases similar to the influenza positivity (Graph 4). Influenza activity slightly increased from the previous week with influenza B and A(H3N2) co-circulating. RSV activity peaked during EW 29 with a downward slope since EW 33 (Graph 1, 2). In La Paz and Santa Cruz, in EW 48, the number of SARI cases decreased below the seasonal levels from previous weeks, with influenza B and A co-circulating. / Durante la SE 49 y en semanas recientes, a nivel nacional, el porcentaje de IRAG disminuyó respecto a semanas previas y fue mayor a los niveles observados en la temporada 2017 para el mismo período (Grafico 3); con un porcentaje de positividad de VSR entre los casos de IRAG similar a la positividad de influenza (Gráfico 4). La actividad de influenza disminuyó ligeramente respecto a la semana previa con co-circulación de influenza B y A(H3N2) (Gráfico 1). La actividad del VRS llegó a su pico en la SE 29 con una pendiente descendente desde la SE 33 (Gráfico 2). En La Paz y en Santa Cruz, en la SE 48, el recuento de casos de IRAG disminuyó por debajo del nivel estacional en relación a semanas previas, con co-circulación de influenza B y A.

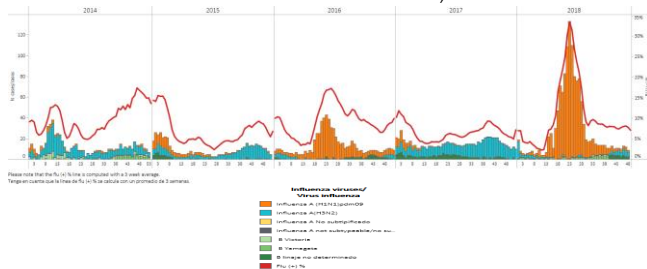


*To view more epi data, view [here](#). / Para ver más datos epi, vea [aquí](#).

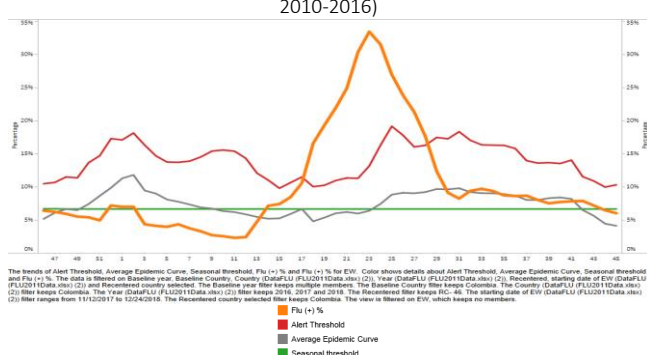
Colombia

- During EW 48, at national level, SARI case counts were lower as compared to the previous seasons for the same period and were below the seasonal threshold and the alert threshold (Graph 4). In EW 48, influenza activity decreased as compared to the previous weeks with influenza A(H3N2) and B co-circulating (Graphs 1, 3); while RSV percent positivity slightly decreased (Graph 2). During EW 49, pneumonia activity was at seasonal levels for the period and ARI activity decreased at the alert threshold; both were similar as compared to the levels reported during the 2014-2017 seasons (Graph 5, 6). / En la SE 48, a nivel nacional, el número de casos de IRAG fue menor en comparación a las temporadas previas para el mismo período, y se situaron por debajo del umbral estacional y de alerta (Grafico 4). Durante la SE 48, la actividad de influenza disminuyó en comparación a las semanas anteriores con circulación de influenza A(H3N2) y B (Gráficos 1, 3); en tanto la positividad de VSR disminuyó ligeramente (Gráfico 2). Durante la SE 49, la actividad de neumonía se ubicó en niveles estacionales para el período y la actividad de IRA disminuyó sobre el umbral de alerta; ambos fueron similares en comparación a los niveles reportados durante las temporadas de 2014-2017 (Gráficos 5, 6).

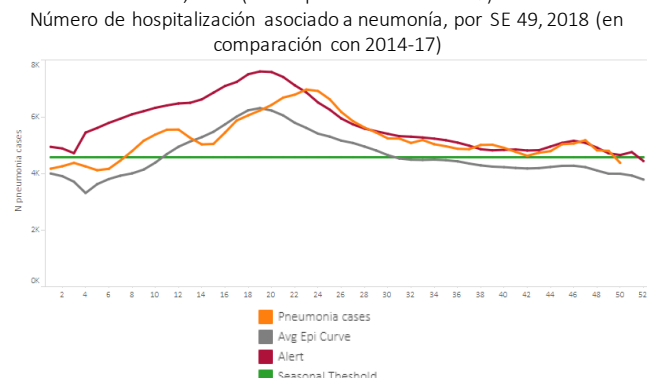
Graph 1. Colombia. Influenza virus distribution EW 48, 2014-18
Distribución de virus influenza SE 48, 2014-18



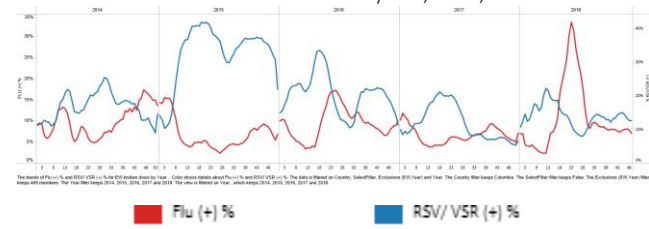
Graph 3. Colombia: Percent positivity for influenza, EW 46, 2017-18 (in comparison to 2010-2016)
Porcentaje de positividad de influenza, SE 46, 2017-18 (en comparación a 2010-2016)



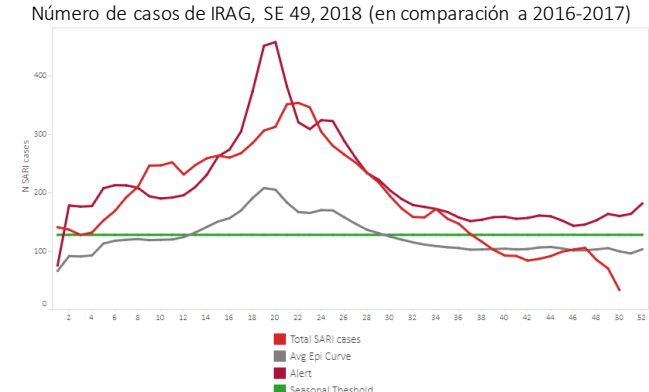
Graph 5. Colombia: Number of pneumonia-related hospitalizations, by EW 49, 2018 (in comparison with 2014-17)
Número de hospitalización asociado a neumonía, por SE 49, 2018 (en comparación con 2014-17)



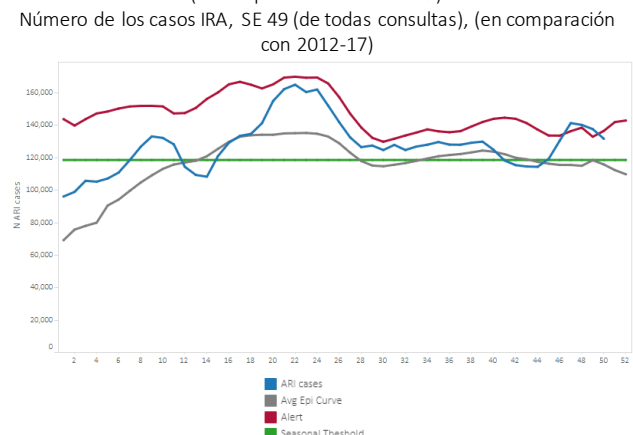
Graph 2. Colombia: Influenza and RSV distribution, EW 48, 2014-18
Distribución de virus influenza y VSR, SE 48, 2014-18



Graph 4. Colombia: Number of SARI cases, EW 49, 2018 (in comparison to 2016-2017)
Número de casos de IRAG, SE 49, 2018 (en comparación a 2016-2017)



Graph 6. Colombia: Number of ARI cases, EW 49 (from all consultations), (in comparison with 2012-17)
Número de los casos IRA, SE 49 (de todas consultas), (en comparación con 2012-17)

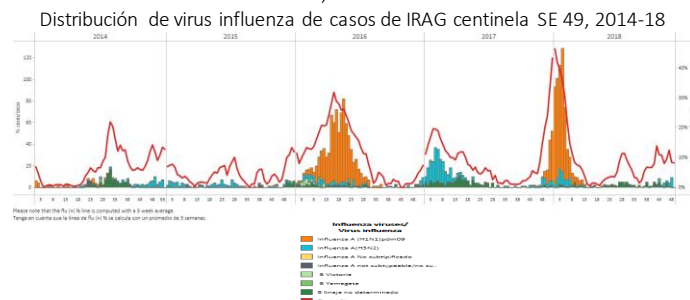


*To view more epi data, view [here](#). / Para ver mas datos epi, vea [aquí](#).

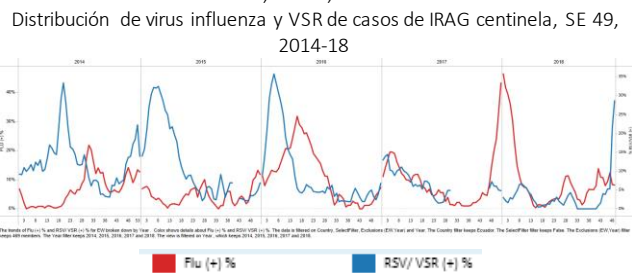
Ecuador

- During EW 45, at national level, the proportion of SARI cases, the ICU admissions and deaths proportions among all hospitalizations decreased from previous weeks and remained similar to the levels observed during the 2016 -2017 seasons for the same period (Graph 4). During EW 49, influenza activity decreased as compared to the previous weeks above the seasonal threshold, with influenza B and A(H3N2) co-circulating (Graph 2). Influenza percent positivity was lower than the levels reported during the prior season for the same period, with increased RSV activity (Graph 1, 2). / Durante la SE 45, a nivel nacional, la proporción de casos de IRAG, admisiones a UCI y fallecidos sobre el total de hospitalizaciones disminuyó en relación a semanas previas y se mantuvo similar a los niveles observados durante 2016-2017 para el mismo período (Gráfico 4). En la SE 49, la actividad de influenza disminuyó en comparación con las semanas previas sobre el umbral estacional, con co-circulación de influenza B y A(H3N2) (Gráfico 2). El porcentaje de positividad de influenza fue menor a los niveles registrados en la temporada previa para el mismo período, con baja actividad de VSR (Gráficos 1, 2).

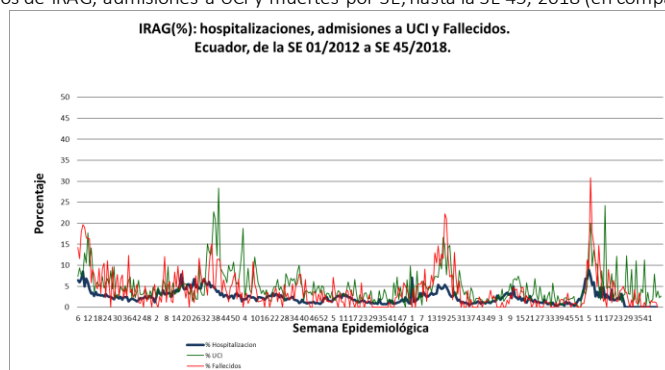
Graph 1. Ecuador: Influenza virus distribution from SARI sentinel cases by EW 49, 2014-18



Graph 2. Ecuador: Influenza and RSV distribution from SARI sentinel cases, EW 49, 2014-18



Graph 4. Ecuador: Proportion of SARI cases, ICU admissions and deaths by EW, as of EW 45, 2018 (compared to 2012-2017)
Proporción de casos de IRAG, admisiones a UCI y muertes por SE, hasta la SE 45, 2018 (en comparación a 2012-2017)



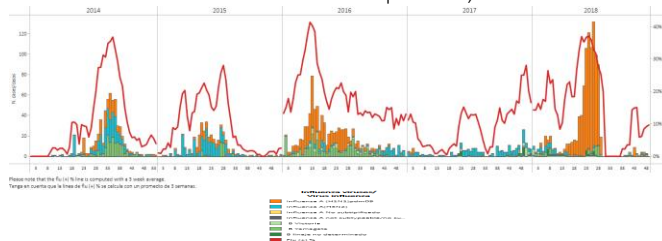
*To view more epi data, view [here](#). / Para ver mas datos epi, vea [aquí](#).

Peru

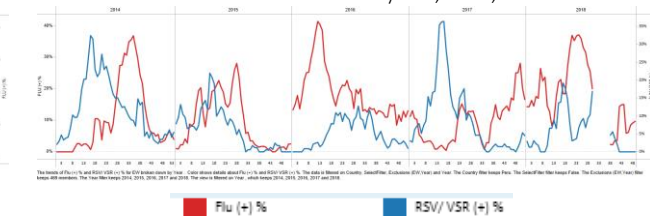
- During EW 49, at national level, SARI case counts among all hospitalizations decreased from previous weeks and remained lower than the 2015-2017 seasons for the same period (Graph 4). In EW 48, influenza activity increased below the alert threshold, with influenza A(H1N1)pdm09 and B circulating in recent weeks (Graph 1,3). No RSV detections were reported in EW 48, and RSV positivity was lower than levels observed in 2017 for the same period (Graph 2). During SE 49, at the national level, ARI case counts among the under 5 years of age population slightly decreased and were similar to the levels observed in 2016-2017 for the same period (Graph 5). Likewise, the pneumonia case counts in infants under 5 years of age slightly decreased and was higher than the counts reported in 2016-2017 for the same period (Graph 6). During EW 48, 16 departments reported pneumonia cumulative cases among the under 5 years of age children higher than the median of the 2013-2017 seasons for the same period: Amazonas, Ancash, Apurímac, Arequipa, Callao, Cusco, Huanuco, La Libertad, Lima, Madre de Dios, Moquegua, Pasco, Puno, Tacna, Tumbes and Ucayali*. En la SE 49, a nivel nacional, el número de casos de IRAG entre el total de hospitalizaciones disminuyó respecto a los niveles de semanas previas y se mantuvo menor a lo observado en las temporadas 2015-2017 para el mismo período (Gráfico 4). Durante la SE 48, la actividad de influenza aumentó bajo el umbral de alerta, con circulación de influenza A(H1N1)pdm09 y B en semanas previas (Gráficos 1,3). No se reportaron detecciones de VSR en la SE 48, y la positividad de VSR fue menor a los niveles observados en 2017 para el mismo período (Gráfico 2). Durante la SE 49, a nivel nacional, el recuento de casos de IRA en la población de menores de 5 años disminuyó ligeramente y fue similar a los niveles observados en 2016-2017 para el mismo período (Gráfico 5). Así mismo, el recuento de casos de neumonía en niños menores de 5 años disminuyó ligeramente y fue superior a los recuentos reportados en 2016-2017 para el mismo período (Gráfico 6). Durante la SE 48, 16 departamentos reportaron recuento de casos de neumonía en niños menores de 5 años superior a la mediana de las temporadas 2013-2017 para el mismo período: Amazonas, Ancash, Apurímac, Arequipa, Callao, Cusco, Huanuco, La Libertad, Lima, Madre de Dios, Moquegua, Pasco, Puno, Tacna, Tumbes y Ucayali *

*Online report/ informe de línea

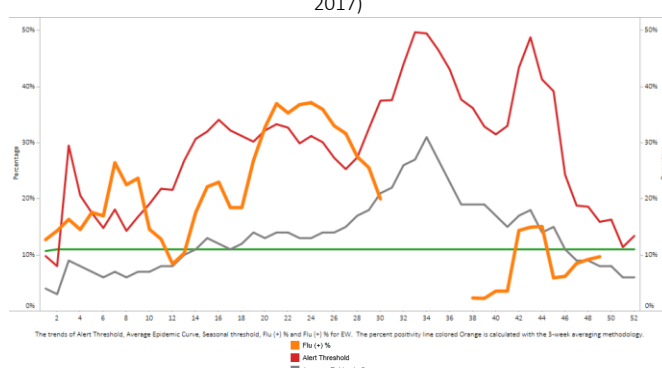
Graph 1. Peru: Influenza virus distribution by EW 48, 2014-18
Distribución de virus influenza por SE 48, 2014-18



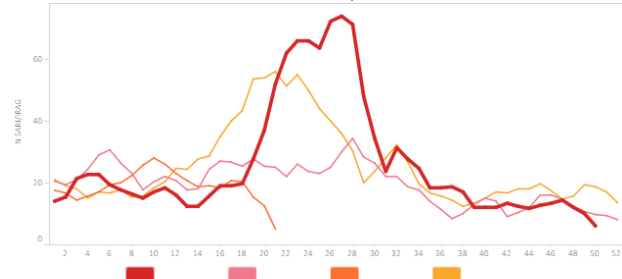
Graph 2. Peru: Influenza and RSV distribution, EW 48, 2014-18
Distribución de virus influenza y VSR, SE 48, 2014-18



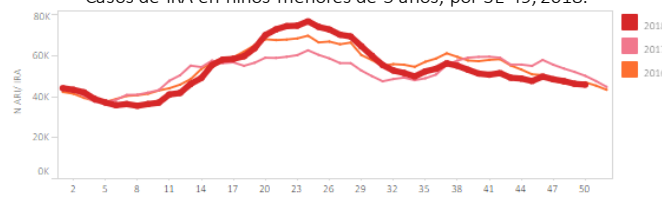
Graph 3. Perú: Percent positivity for influenza, EW 48, 2018 (in comparision to 2010-2017)
Porcentaje de positividad de influenza, SE 48, 2018 (en comparación a 2010-2017)



Graph 4. Peru: Number of SARI cases, by EW 49, 2018
Número de casos IRAG, por SE 49, 2018



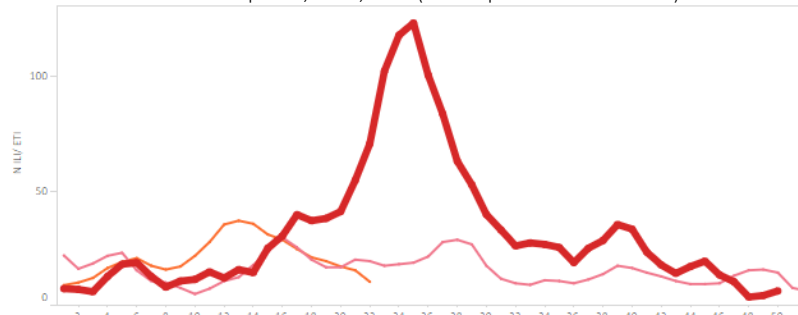
Graph 5. Peru. ARI cases in children under 5 years, by EW 49, 2018
Casos de IRA en niños menores de 5 años, por SE 49, 2018.



Graph 6. Peru: Pneumonia cases in children under 5 years, by EW 49, 2018
Casos de neumonía en niños menores de 5 años, por SE 49, 2018



Graph 7. Peru: ILI cases, by EW, EW 49, 2018 (in comparison to 2015-2017)
Casos de ETI por SE, SE 49, 2018 (en comparación a 2015-2017)

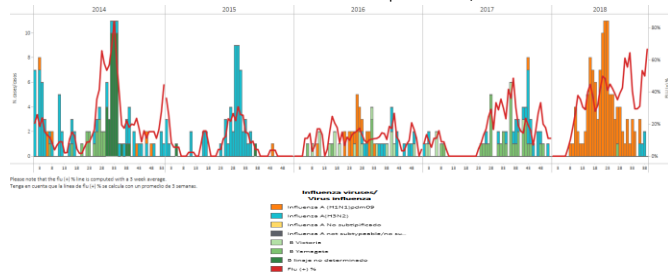


*To view more epi data, view [here](#). / Para ver mas datos epi, vea [aquí](#).

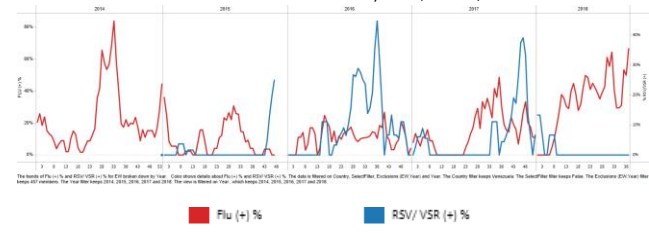
Venezuela

- During EW 39, influenza activity increased with influenza A(H1N1)pdm09 predominating, and few detections of influenza A(H3N2) (Graph 1, 2). Up to EW 39, no RSV detections were reported. / En la SE 39, la actividad de influenza aumentó con predominio de influenza A(H1N1)pdm09, y escasas detecciones de influenza A(H3N2) (Gráficos 1, 2). A la SE 39, no se reportaron detecciones por VSR (Gráfico 2).

Graph 1. Venezuela: Influenza virus distribution by EW 39, 2014-18
Distribución de virus influenza por SE 39, 2014-18



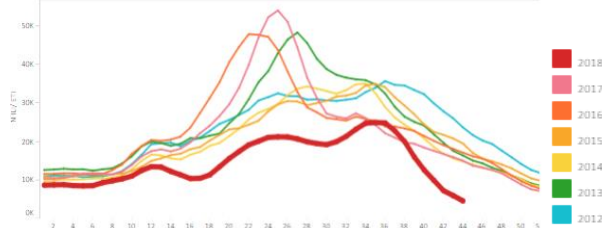
Graph 2. Venezuela: Influenza and RSV distribution, EW 39, 2014-18
Distribución de virus influenza y VSR, SE 39, 2014-18



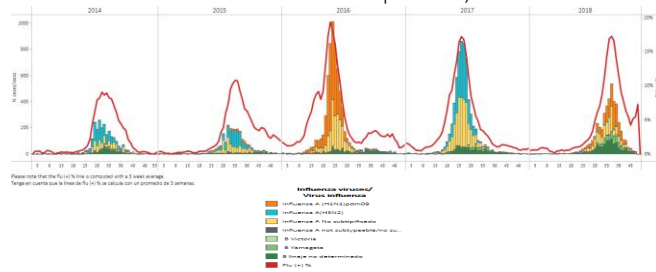
Argentina

- During EW 44 and EW 46, at national level, the counts of SARI and pneumonia cases respectively, decreased and were lower than the 2012-2017 seasons for the same period (Graph 2, 6). During EW 44, ILI activity was also low for the period (Graph 1). During EW 45, influenza activity decreased as compared with the previous weeks with overall few samples tested (Graphs 3, 5). RSV positivity decreased and was similar to the levels reported during the previous season for the same period (Graph 4). During EW 1-42, 2018, 81 influenza-associated deaths were reported, lower than the levels observed during the 2017 season for the same period (114 influenza-associated deaths), mostly among the 60 years of age population and older and with risk factors (70%). / Durante la SE 44 y la SE 46, a nivel nacional los recuentos de IRAG y neumonía respectivamente, disminuyeron y fueron menores que durante las temporadas 2012-2017 para el mismo período (Gráficos 2, 6). Durante la SE 44, la actividad de ETI fue baja para el período (Gráfico 1). Durante la SE 45, la actividad de influenza disminuyó en comparación con semanas previas, con recuento bajo de muestras estudiadas (Gráficos 3, 5). El porcentaje de positividad para VSR disminuyó y fue similar a lo registrado en la temporada previa para el mismo período (Gráficos 4). Durante las SE 1-42 de 2018, se reportaron 81 fallecidos asociados a influenza, menor a los niveles observados durante la temporada 2017 para el mismo período (114 muertes asociadas a influenza), en su mayoría entre la población de 60 años de edad y más, y con factores de riesgo (70%).

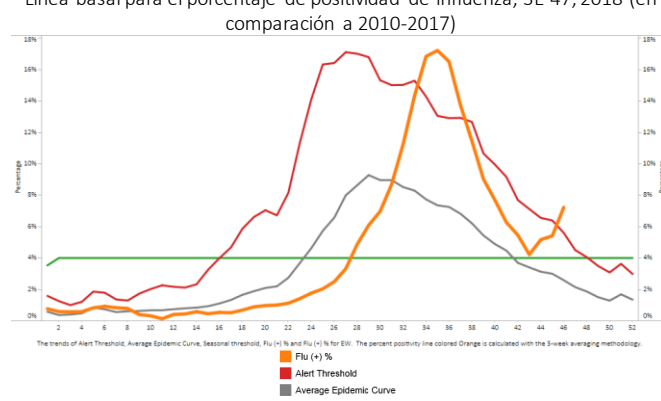
Graph 1. Argentina. Number of ILI cases from national surveillance by EW, EW 1-44, 2018 (compared to 2012-2017) / Número de casos de ETI de vigilancia nacional, SE 1- 44, 2018 (en comparación a 2012-2017)



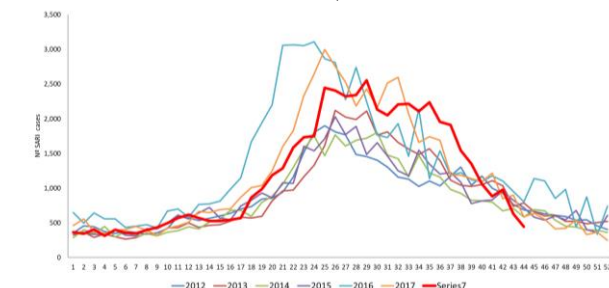
Graph 3. Argentina. Influenza virus distribution by EW 45, 2014-18
Distribución de virus influenza por SE 45, 2014-18



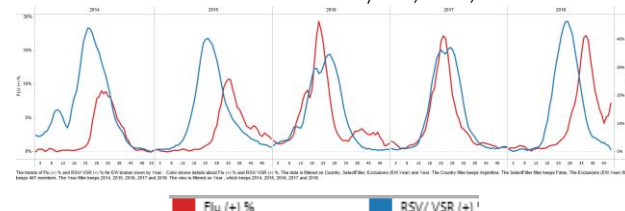
Graph 5. Argentina: Baseline for the percent positivity for influenza, EW 47, 2018 (in comparision to 2010-2017)
Línea basal para el porcentaje de positividad de influenza, SE 47, 2018 (en comparación a 2010-2017)



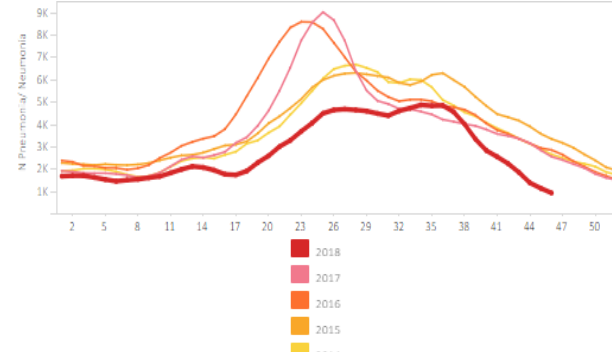
Graph 2. Argentina. Number of SARI cases from national surveillance by EW, EW 1-44, 2018 (compared to 2012-2017) / Número de casos de IRAG de vigilancia nacional, SE 1- 44, 2018 (en comparación a 2012-2017)



Graph 4. Argentina: Influenza and RSV distribution, EW 45, 2014-18
Distribución de virus influenza y VSR, SE 45, 2014-18

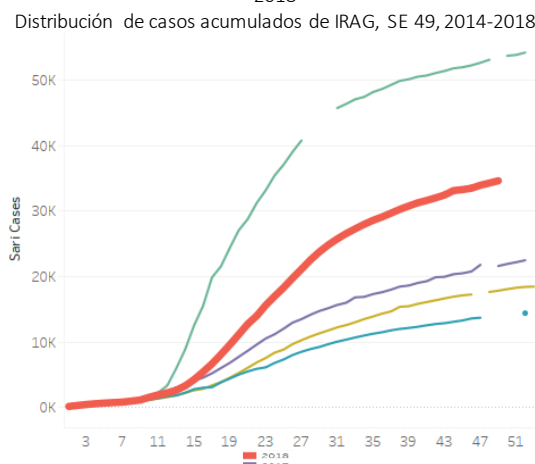


Graph 6. Argentina. Number of pneumonia cases from national surveillance by EW, EW 1-46, 2018 (compared to 2012-2017) / Número de casos de neumonía de vigilancia nacional, SE 1- 46, 2018 (en comparación a 2012-2017)

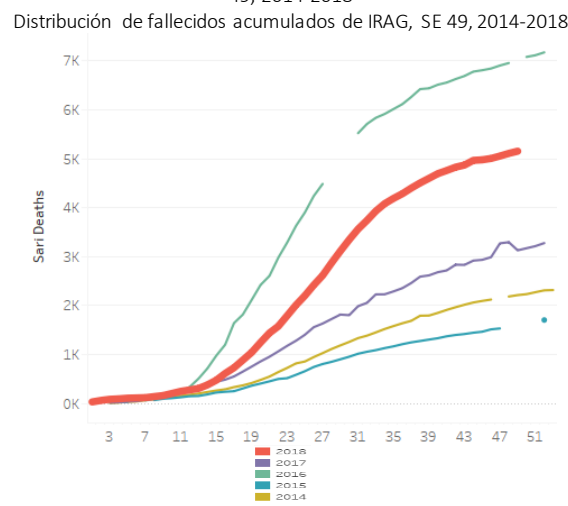


- In Brazil, during EW 49, cumulative SARI hospitalizations and deaths increased and were lower than in 2016 but higher than the other seasons for the same period (Graphs 1,2). During EW 49, the SARI case counts out of all hospitalizations were lower than in previous weeks and the 2015-2017 seasons (Graph 10). The cumulative number of influenza-associated SARI cases and SARI deaths were higher than the counts reported in 2017 and less than in 2016 (Graph 3,4). During EW 49, a slight increase in the detection of influenza positive cases was reported by the three NICs with influenza B predominating; RSV detections increased in recent weeks as well (Graph 5-9). During EW 48, 8 states reported higher cumulative influenza-associated SARI/ILI case counts than the historic average 2014-2017 (≥ 2 standard deviation above): Bahia, Ceará, Maranhao, Pernambuco, Piaui, Rio Grande do Norte, Sergipe, and Tocantins (Graph 11). In EW 48, 8 states reported higher cumulative influenza-associated SARI/ILI deaths counts than the historic average 2014-2017 (> 1 standard deviation above): Bahia, Ceará, Maranhao, Pernambuco, Piaui, Rio Grande do Norte, Sergipe and Tocantins (Graph 12). / En Brasil, en la SE 49, las hospitalizaciones y los casos fallecidos por IRAG acumulados aumentaron y fueron menores que en 2016 pero superiores a las restantes temporadas para el mismo período (Gráficos 1, 2). Durante la SE 49, el recuento de casos de IRAG sobre el total de hospitalizaciones fue menor que las semanas previas y las temporadas 2015-2017 para el mismo período (Gráfico 10). El número acumulado de casos de IRAG por influenza y de casos fallecidos asociados a influenza fueron superiores a los recuentos de 2017 y menores a los recuentos reportados en 2016 (Gráficos 3, 4). En la semana 49, se ha detectado un ligero ascenso de los casos positivos de influenza reportados por los tres NICs, con predominio de influenza B; las detecciones de VSR aumentaron en las últimas semanas también (Gráficos 5-9). Durante la SE 48, 8 estados reportaron elevados recuentos acumulados de IRAG/ETI asociados a influenza en comparación al promedio histórico 2014-2017 (≥ 2 desviación estándar arriba): Bahia, Ceará, Maranhao, Pernambuco, Piaui, Rio Grande do Norte, Sergipe, y Tocantins (Gráfico 11). En la SE 48, 8 estados reportaron elevados recuentos acumulados de fallecidos por IRAG/ETI asociados a influenza en comparación al promedio histórico 2014-2017 (> 1 desviación estándar arriba): Bahia, Ceará, Maranhao, Pernambuco, Piaui, Rio Grande do Norte, Sergipe y Tocantins (Gráfico 12).

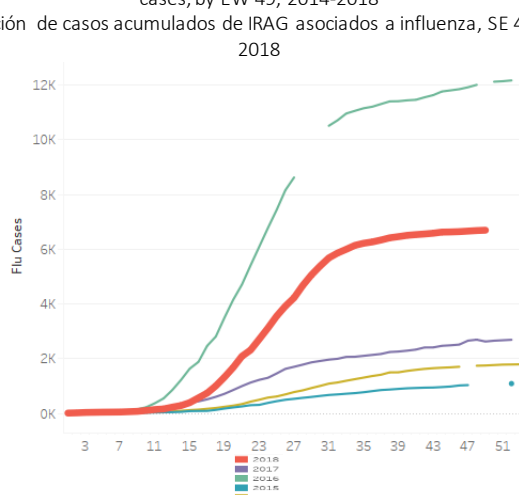
Graph 1. Brazil. Distribution of cumulative SARI-related cases, by EW 49, 2014-2018



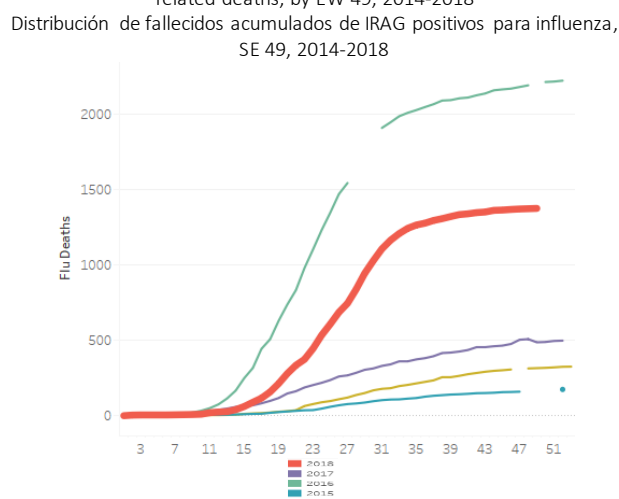
Graph 2. Brazil. Distribution of cumulative SARI-related deaths, by EW 49, 2014-2018



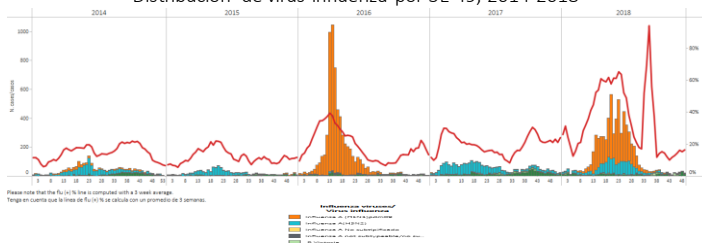
Graph 3. Brazil. Distribution of cumulative influenza-associated SARI-related cases, by EW 49, 2014-2018



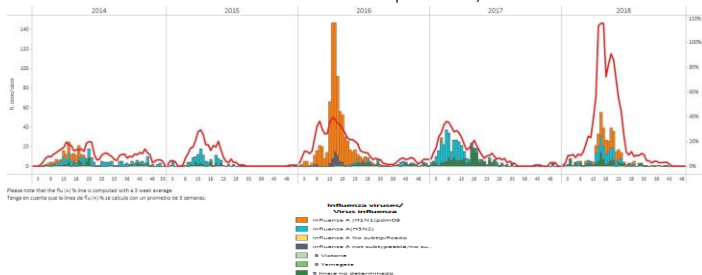
Graph 4. Brazil. Distribution of cumulative influenza-positive SARI-related deaths, by EW 49, 2014-2018



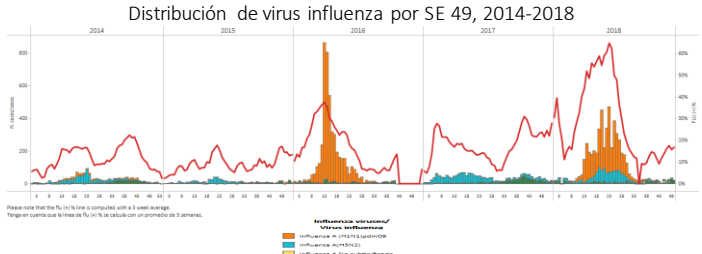
Graph 5. Brazil- All NICs. Influenza virus distribution by EW 49, 2014-2018
Distribución de virus influenza por SE 49, 2014-2018



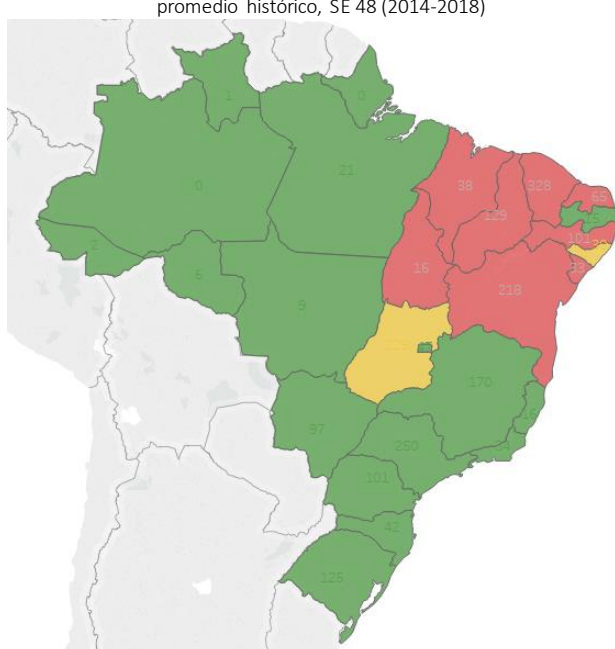
Graph 7. Brazil - NIC IEC. Influenza virus distribution by EW 49, 2014-2018
Distribución de virus influenza por SE 49, 2014-2018



Graph 9. Brazil- NIC Adolfo Lutz. Influenza virus distribution by EW 49, 2014-2018
Distribución de virus influenza por SE 49, 2014-2018

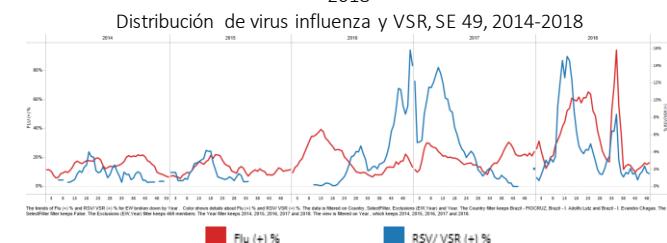


Graph 11. Brazil: Cumulative counts of influenza-associated SARI cases greater than historic average, EW 48 (2014-2018)
Recuentos acumulados de casos de IRAG asociados a influenza mayor al promedio histórico, SE 48 (2014-2018)

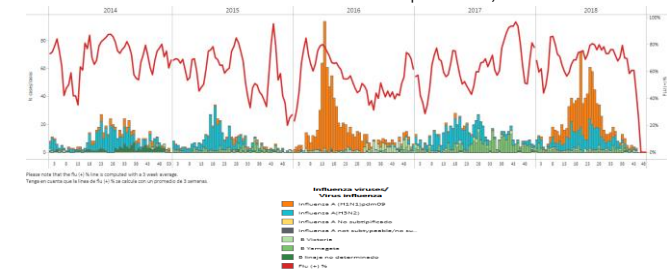


■ Equal to or less than 1 std dev of historic data avg (2014-2017)
■ Greater than 1 std dev of historic data avg (2014-2017)

Graph 6. Brazil – All NICs: Influenza and RSV distribution, EW 49, 2014-2018
Distribución de virus influenza y VSR, SE 49, 2014-2018



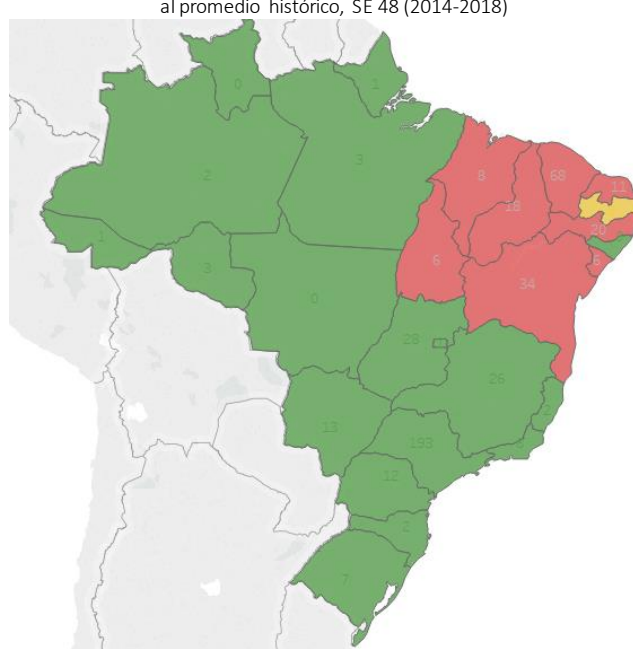
Graph 8. Brazil- NIC FIOCRUZ. Influenza virus distribution by EW 48, 2014-2018 Distribución de virus influenza por SE 48, 2014-2018



Graph 10. Brazil: Number of SARI cases out of all hospitalizations, by EW 49, 2018 (in comparison with 2015-17)
Número de casos IRAG de todas las hospitalizaciones, por SE 49, 2018 (en comparación con 2015-17)



Graph 12. Brazil: Cumulative count of influenza-associated SARI deaths greater than historic average, EW 48 (2014-2018)
Recuentos acumulados de fallecidos por IRAG asociados a influenza mayor al promedio histórico, SE 48 (2014-2018)

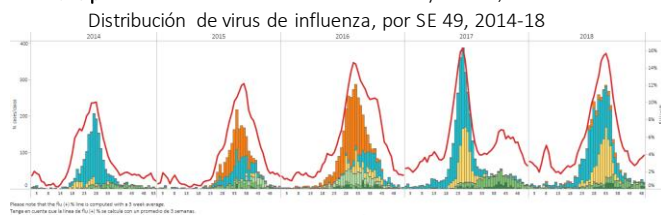


■ Equal to or less than 1 std dev of historic data avg (2014-2017)
■ Greater than 1 std dev of historic data avg (2014-2017)

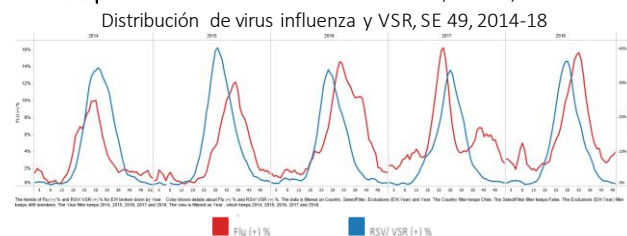
Chile

- During EW 48, at national level, the SARI cases slightly decreased from the previous weeks to the seasonal levels observed during 2015-2017 for the same period (Graph 4); while ILI activity decreased below the average epidemic curve (Graph 5). In EW 48, influenza activity decreased and remained below the historic average, with influenza B predominating (Graphs 1,3). RSV percent positivity peaked in EW 29 with a downward slope in EW 49, similar to the levels reported in 2017 for the same period (Graph 2). / Durante la SE 49, a nivel nacional, los casos de IRAG disminuyeron ligeramente respecto a las semanas previas hasta los niveles estacionales observados durante 2015-2017 para el mismo período (Gráfico 4), mientras que la actividad de ETI disminuyó bajo la curva epidémica promedio (Gráfico 5). En la SE 49, la actividad de influenza disminuyó y permaneció en el promedio histórico, con predominio de influenza B (Gráficos 1, 3). El porcentaje de positividad de VSR presentó su pico en la SE 29 con una pendiente en descenso en SE 49, similar a los niveles reportados en 2017 para el mismo período (Gráfico 2).

Graph 1. Chile: Influenza virus distribution by EW 49, 2014-18

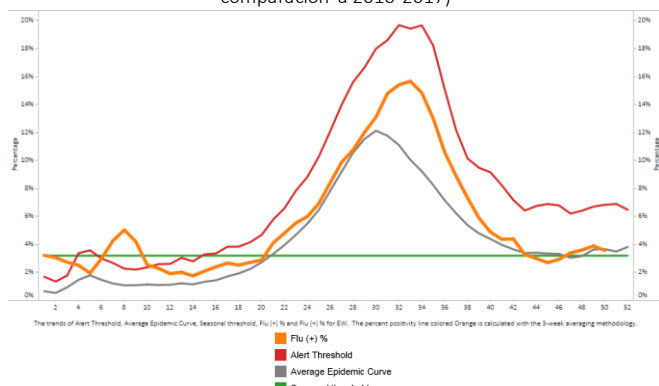


Graph 2. Chile: Influenza and RSV distribution, EW 49, 2014-18



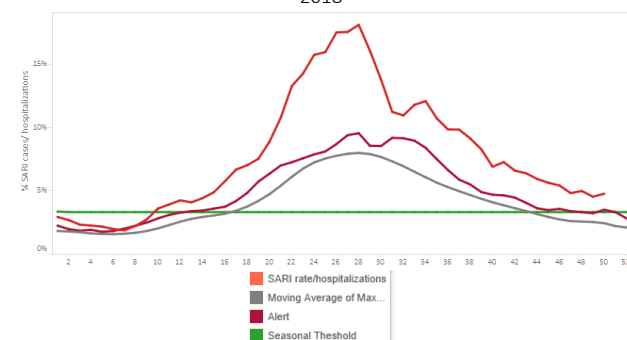
Graph 3. Chile: Baseline for the percent positivity for influenza, EW 49, 2018 (in comparison to 2010-2017)

Línea basal para el porcentaje de positividad de influenza, SE 49, 2018 (en comparación a 2010-2017)

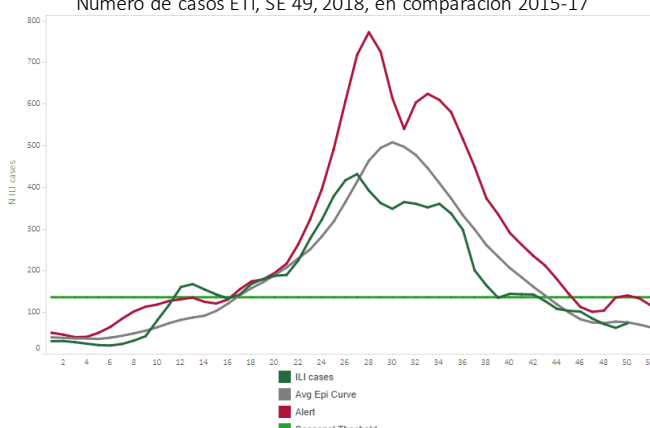


Graph 4. Chile. Percent of SARI cases from all hospitalizations, EW 49, 2015-2018,

Porcentaje de casos IRAG por las hospitalizaciones totales, SE 49, 2015-2018



Graph 5. Chile. Number of ILI cases, EW 49, 2018, in comparison 2015-17



*To view more epi data, view [here](#). / Para ver mas datos epi, vea [aquí](#).

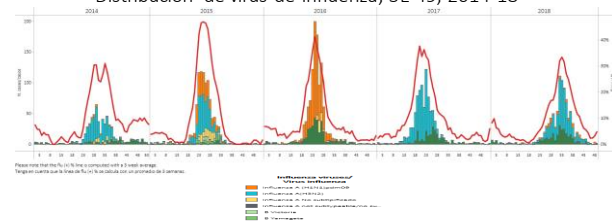
Paraguay

- During EW 49, at national level, the SARI cases continued above the alert threshold (Graph 5), with a predominance among the under 5 and above 60 years of age population. In EW 49, the percent of SARI deaths out of total deaths decreased from the prior week (Graph 6) with 70% of associated comorbidities and among the 60 years of age and older.

ILI activity remained above the seasonal levels after peaking later than in the previous 2016-2017 seasons (Graph 4). In EW 49, influenza activity increased from the previous weeks with predominance of influenza A(H3N2) (Graphs 1, 3); RSV positivity decreased (Graph 2). / Durante la SE 49, a nivel nacional, los casos de IRAG continuaron por encima del umbral de alerta (Gráfico 5), con predominio entre la población menor de 5 años y mayor de 60 años. En la SE 49, el porcentaje de muertes por IRAG del total de muertes disminuyó en relación a la semana previa (Gráfico 6) con 70% de comorbilidades asociadas y entre los mayores de 60 años. La actividad de ETI permaneció sobre los niveles estacionales luego de un pico más tardío que en temporadas anteriores de 2016-2017 (Gráfico 4). En la SE 49, la actividad de influenza disminuyó respecto a las semanas previas con predominio de influenza A(H3N2) (Gráficos 1, 3); la positividad de VSR disminuyó (Gráfico 2).

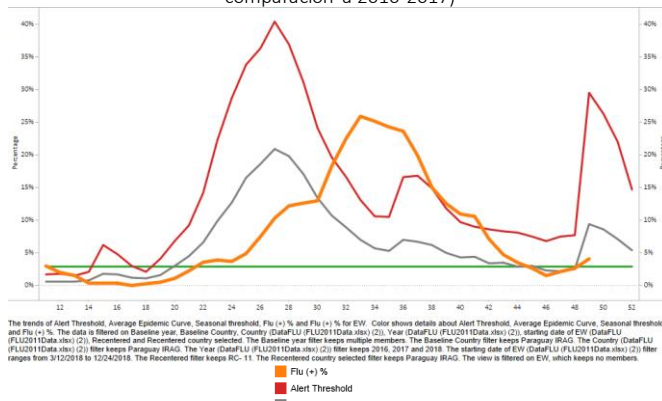
Graph 1. Paraguay: Influenza virus distribution EW 49, 2014-18

Distribución de virus de influenza, SE 49, 2014-18



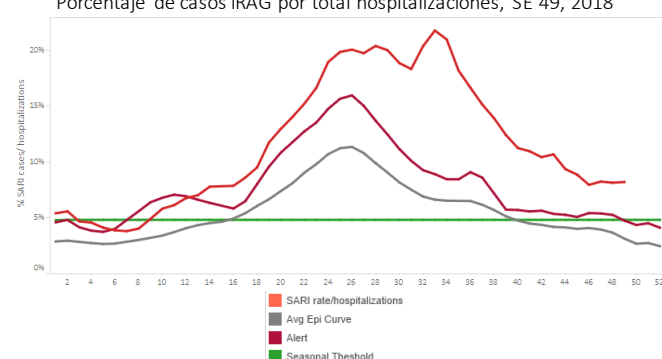
Graph 3. Paraguay SARI sentinel sites: Baseline for the percent positivity for influenza, EW 49, 2018 (in comparison to 2010-2017)

Línea basal para el porcentaje de positividad de influenza, SE 49, 2018 (en comparación a 2010-2017)



Graph 5. Paraguay: Percent of SARI cases per total hospitalizations, EW 49, 2018

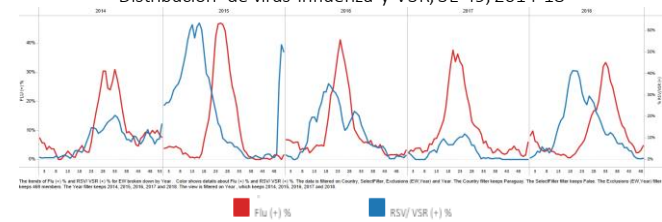
Porcentaje de casos IRAG por total hospitalizaciones, SE 49, 2018



*To view more epi data, view [here](#). / Para ver mas datos epi, vea [aquí](#).

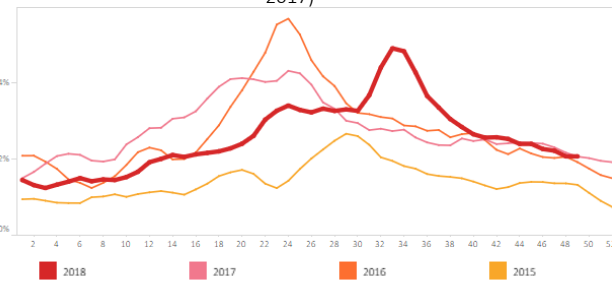
Graph 2. Paraguay: Influenza and RSV distribution, EW 49, 2014-18

Distribución de virus influenza y VSR, SE 49, 2014-18

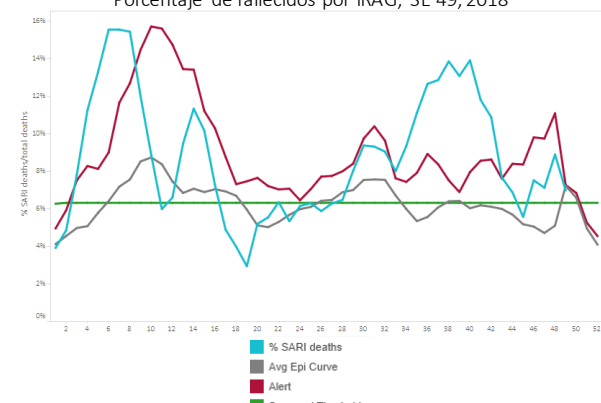


Graph 4. Paraguay: Proportion of ILI consultations, EW 49, 2018 (as compared to 2015-2017)/

Proporción de consultas por ETI, SE 49, 2018 (en comparación a 2015-2017)



Graph 6. Paraguay: Percent of SARI deaths per total deaths, EW 49, 2018. Porcentaje de fallecidos por IRAG, SE 49, 2018



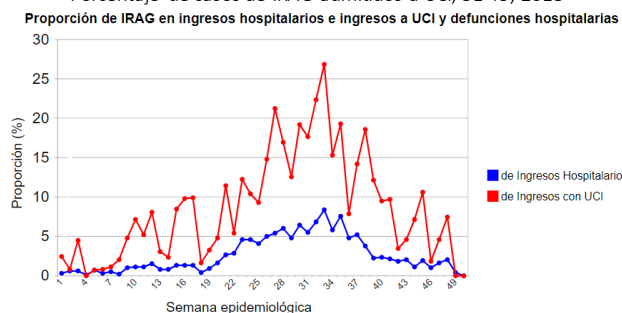
Uruguay

- In EW 48, decreased influenza activity was reported (Graphs 3, 4); with decreased RSV positivity (Graph 2). During EW 41 to 49, the proportion of SARI cases among all hospitalizations, the proportion of SARI case requiring ICU admission and the proportion of SARI-associated cases decreased from previous weeks (Graph 1, 5). During EW 40, 2018, the cumulative influenza-positive SARI cases that required ICU (21) were similar to the previous season, while there was no influenza-positive SARI-associated death reported, as compared to the previous season (with 2 influenza-positive SARI deaths). /

Durante la SE 48 se reportó menor actividad de influenza (Gráficos 3, 4); con positividad de VSR disminuida (Gráfico 2). Durante las SE 41 a 49, la proporción de casos de IRAG del total de hospitalizaciones, la proporción de casos de IRAG con admisión a UCI y la proporción de fallecidos por IRAG disminuyeron en relación a las semanas anteriores (Gráfico 1). Durante la SE 40 de 2018, los casos acumulados de IRAG positivos para influenza que requirieron UCI (21) fueron similares a la temporada previa, en tanto no se reportó ningún fallecido por IRAG positivo para influenza, en comparación a la temporada anterior (con dos fallecidos por IRAG positivos para influenza).

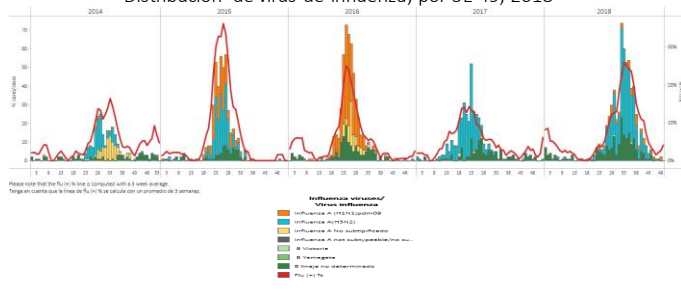
Graph 1. Uruguay: % SARI cases requiring ICU admission, EW 49, 2018;

Porcentaje de casos de IRAG admitidos a UCI, SE 49, 2018



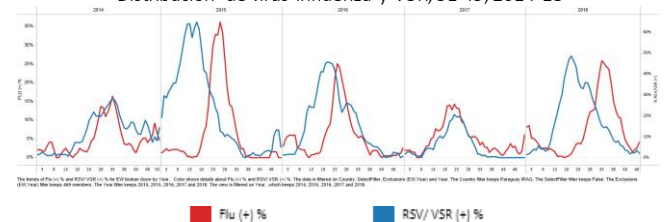
Graph 3. Uruguay: Influenza virus distribution by EW 49, 2018

Distribución de virus de influenza, por SE 49, 2018



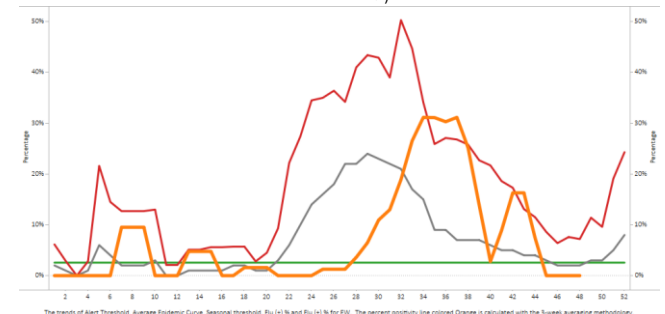
Graph 2. Uruguay: Influenza and RSV distribution, EW 49, 2014-18

Distribución de virus influenza y VSR, SE 49, 2014-18



Graph 4. Uruguay: Percent positivity for influenza, EW 49, 2018 (in comparison to 2010-2017)

Porcentaje de positividad de influenza, SE 49, 2018 (en comparación a 2010-2017)



Graph 5. Uruguay: Percent of SARI cases per total hospitalizations, EW 48, 2017-2018

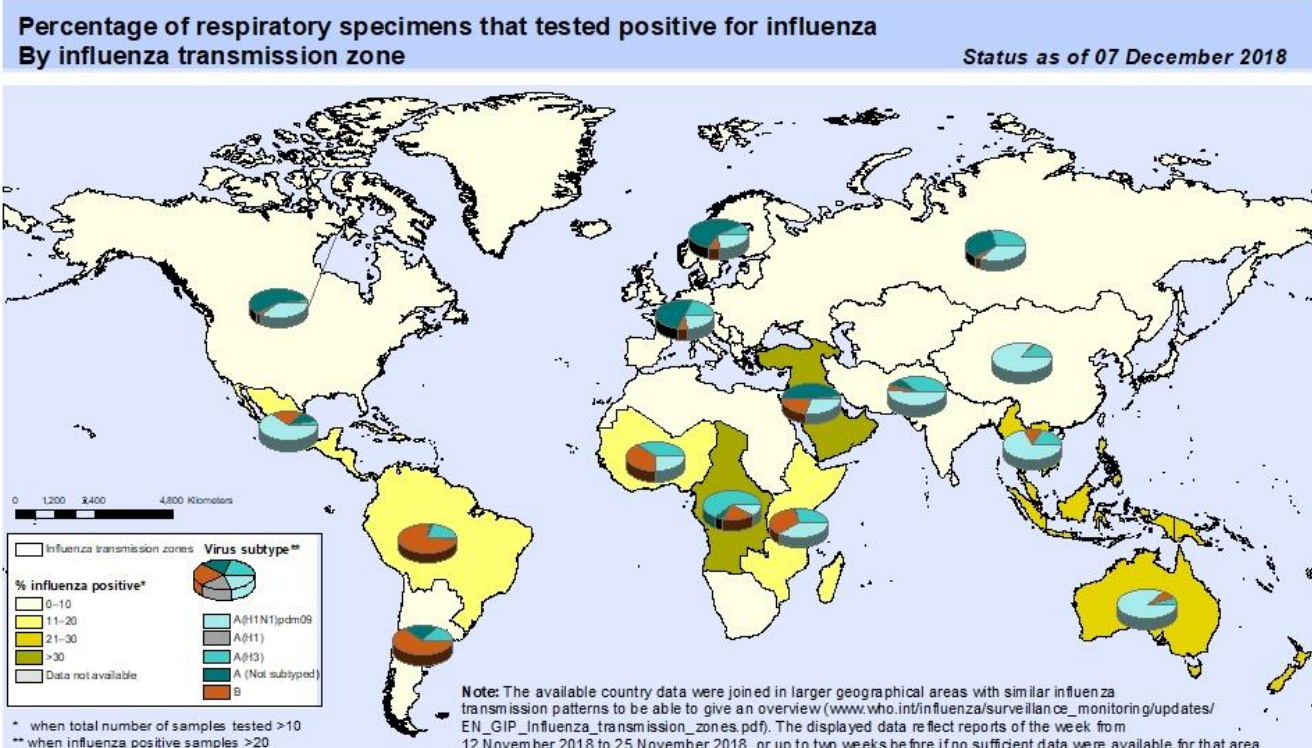
Porcentaje de casos IRAG por total hospitalizaciones, SE 48, 2017-2018



*To view more epi data, view [here](#). / Para ver mas datos epi, vea [aquí](#).

In the temperate zone of the northern hemisphere influenza activity continued to increase although overall influenza activity remained low. Increased influenza detections were reported in some countries of Southern and South-East Asia. In the temperate zones of the southern hemisphere, influenza activity returned to inter-seasonal levels. Worldwide, seasonal influenza A viruses accounted for the majority of detections. / En la zona templada del hemisferio norte, la actividad de influenza continuó aumentando, aunque la actividad general de influenza se mantuvo baja. En algunos países de Asia meridional y sudoriental se notificaron mayores detecciones de influenza. En las zonas templadas del hemisferio sur, la actividad de influenza regresó a niveles inter-estacionales. En todo el mundo, los virus influenza A estacionales representaron la mayoría de las detecciones.

National Influenza Centres (NICs) and other national influenza laboratories from 110 countries, areas or territories reported data to FluNet for the time period from 12 November to 25 November 2018. The WHO GISRS laboratories tested more than 118399 specimens during that time period. 6596 were positive for influenza viruses, of which 5995 (90.9%) were typed as influenza A and 601 (9.1%) as influenza B. Of the sub-typed influenza A viruses, 3019 (85.5%) were influenza A(H1N1)pdm09 and 511 (14.5%) were influenza A(H3N2). Of the characterized B viruses, 39 (38.6%) belonged to the B-Yamagata lineage and 62 (61.4%) to the B-Victoria lineage. / Los Centros Nacionales de Influenza (NICs) y otros laboratorios nacionales de influenza de 110 países, áreas o territorios, reportaron datos a FluNet en el período del 12 de noviembre al 25 de noviembre de 2018. Los laboratorios de la OMS GISRS realizaron pruebas a más de 118399 muestras durante ese período. 6596 tuvieron resultado positivo para virus influenza, de los cuales 5995 (90,9%) fueron tipificados como influenza A y 601 (9,1%) como influenza B. De los virus influenza A subtipificados, 3019 (85,5%) fueron influenza A(H1N1)pdm09 y 511 (14,5%) fueron influenza A(H3N2). De los virus influenza B caracterizados, 39 (38,6%) fueron del linaje B-Yamagata y 62 (61,4%) fueron del linaje B-Victoria.



The boundaries and names shown and the designations used on this map do not imply the expression of any opinion whatsoever on the part of the World Health Organization concerning the legal status of any country, territory, city or area or of its authorities, or concerning the delimitation of its frontiers or boundaries. Dotted and dashed lines on maps represent approximate border lines for which there may not yet be full agreement.

Data Source:
Global Influenza Surveillance and Response System (GISRS),
FluNet (www.who.int/flu.net)

World Health Organization
© WHO 2018. All rights reserved.

This report summarizes³ the epidemiological and virological features of the laboratory-confirmed human cases of infection with influenza viruses of animal origin from 2 November to 13 December, 2018⁴.

- **Risk assessment:** The overall public health risk from currently known influenza viruses at the human-animal interface has not changed, and the likelihood of sustained human-to-human transmission of these viruses remains low. Further human infections with viruses of animal origin are expected.
- **Risk management:** Selection of new candidate vaccine viruses (CVVs) for zoonotic influenza for influenza pandemic preparedness purposes was done during a recent WHO consultation.
- **IHR compliance:** All human infections caused by a new influenza subtype are required to be reported under the International Health Regulations (IHR 2005). Information from these notifications is critical to inform risk assessments for influenza at the human-animal interface.

Este reporte resume⁵ las características epidemiológicas y virológicas de los casos confirmados en laboratorio de infección por virus influenza de origen animal del 2 de noviembre al 13 de diciembre de 2018⁶.

- **Evaluación de riesgo:** El riesgo general para la salud pública de los virus influenza conocidos en la interfaz entre humanos y animales no ha cambiado, y la probabilidad de transmisión sostenida de estos virus sigue siendo baja. Se esperan más infecciones humanas con virus de origen animal.
- **Gestión de riesgos:** durante una reciente consulta de la OMS, se realizó la selección de nuevos virus de vacuna candidata (CVV) para la influenza zoonótica con fines de preparación para una pandemia de influenza.
- **Cumplimiento del RSI:** Todas las infecciones humanas causadas por un nuevo subtipo de influenza deben informarse según el Reglamento Sanitario Internacional (RSI 2005). La información de estas notificaciones es fundamental para informar las evaluaciones de riesgo para la influenza en la interfaz humano-animal.

Avian influenza viruses / Virus influenza aviar

Avian influenza A(H5) viruses / Virus influenza aviar A(H5)

Since November 1st 2018, no new laboratory-confirmed human case of influenza A(H5) virus infection were reported. / Desde el 1 de noviembre de 2018, no se reportaron nuevos casos de infección por virus de influenza A(H5) en humano.

Avian influenza A(H7N2) viruses / Virus influenza aviar A(H7N2)

Since 1 November 2018, an additional laboratory-confirmed human case of infection with an avian influenza A(H7N2) virus, associated with an outbreak in cats in December 2016 in the United States (USA), was detected. Novel serologic testing methods were employed in active case finding following the outbreak. Of over 100 individuals with exposure to infected cats, one person met the criteria for seropositivity to be considered a laboratory-confirmed case. The individual reported mild respiratory illness following close contact with infected cats during the outbreak. This is the second human case of infection with an influenza A(H7N2) virus transmitted from cats to humans. /

Desde el 1 de noviembre de 2018, se detectó un caso adicional de infección en el laboratorio confirmado por laboratorio con un virus de influenza aviar A(H7N2), asociado con un brote en gatos en diciembre de 2016 en los Estados Unidos (EE. UU.). Se emplearon nuevos métodos de pruebas serológicas en la búsqueda activa de casos después del brote. De más de 100 individuos con exposición a gatos infectados, una persona cumplió con los criterios para que la seropositividad se considere un caso confirmado por laboratorio. El individuo informó una enfermedad respiratoria leve después del contacto cercano con gatos infectados durante el brote. Este es el segundo caso humano de infección con un virus influenza A(H7N2) transmitido de gatos a humanos.

³ For epidemiological and virological features of human infections with animal influenza viruses not reported in this assessment, see the yearly report on human cases of influenza at the human-animal interface published in the Weekly Epidemiological Record. www.who.int/wer/en/

⁴ WHO (2018) Influenza at the human-animal interface Summary and assessment. Available at:

http://www.who.int/influenza/human_animal_interface/HAI_Risk_Assessment/en/

⁵ Para conocer las características epidemiológicas y virológicas de las infecciones humanas con virus de influenza animal no reportadas en esta evaluación, consulte el informe anual sobre casos humanos de influenza en la interfaz humano-animal publicado en el Reporte Epidemiológico Semanal. Disponible en: www.who.int/wer/en/

⁶ OMS (2018) Influenza en la interfaz humano-animal Resumen y evaluación. Disponible en:
http://www.who.int/influenza/human_animal_interface/HAI_Risk_Assessment/en/

ACRONYMS

ARI	Acute Respiratory Infection
CARPHA	Caribbean Public Health Agency
CENETROP	Centro de Enfermedades Tropicales (Santa Cruz, Bolivia)
EW	Epidemiological Week
ILI	Influenza-like illness
INLASA	Instituto Nacional de Laboratorios de Salud (La Paz, Bolivia)
INS	Instituto Nacional de Salud
ORV	Other respiratory viruses
SARI	Severe acute respiratory infection
SEDES	Servicio Departamental de Salud (Bolivia)
ICU	Intensive Care Unit
RSV	Respiratory Syncytial Virus

ACRÓNIMOS

CARPHA	Agencia de Salud Pública del Caribe/Caribbean Public Health Agency
CENETROP	Centro de Enfermedades Tropicales (Santa Cruz, Bolivia)
ETI	Enfermedad Tipo influenza
INLASA	Instituto Nacional de Laboratorios de Salud (La Paz, Bolivia)
INS	Instituto Nacional de Salud
IRA	Infección Respiratoria Aguda
IRAG	Infección Respiratoria Aguda grave
OVR	Otros virus respiratorios
SE	Semana epidemiológica
SEDES	Servicio Departamental de Salud (Bolivia)
UCI	Unidad de Cuidados Intensivos
VSR	Virus Sincitial Respiratorio